

МИНИСТЕРСТВО ГЕОЛОГИИ И ОХРАНЫ НЕДР СССР  
ВСЕСОЮЗНЫЙ ГИДРОГЕОЛОГИЧЕСКИЙ ТРЕСТ

Экз. №

# ГЕОЛОГИЧЕСКАЯ КАРТА СССР

масштаба 1 : 200 000

СЕРИЯ ЗАПАДНО-САЯНСКАЯ

Лист М-46-XII

ОБЪЯСНИТЕЛЬНАЯ ЗАПИСКА

Составители: А. В. Ильин, Т. А. Ильина  
Редактор Ю. М. Шейманн

Утверждена Научно-редакционным советом ВСЕГЕИ  
при СНИИГИМСе, 9 октября 1959 г.



ГОСУДАРСТВЕННОЕ НАУЧНО-ТЕХНИЧЕСКОЕ ИЗДАТЕЛЬСТВО  
ЛИТЕРАТУРЫ ПО ГЕОЛОГИИ И ОХРАНЕ НЕДР  
МОСКВА 1962

## ВВЕДЕНИЕ

Площадь листа М-46-XII расположена в восточной части Тувы между 95°00'—96°00' в. д. и 51°20'—50°40' с. ш. В административном отношении она принадлежит Каа-Хемскому, Тес-Хемскому и Тандинскому районам Тувинской автономной области РСФСР.

Большая, восточная часть площади описываемого листа находится в пределах Восточно-Тувинского нагорья; на юго-востоке она примыкает к более высоко поднятому нагорью Сангилен, на юго-западе охватывает хребет Восточный Танну-Ола, на северо-западе — восточную часть Центрально-Тувинской котловины.

В основном территория листа М-46-XII располагается в левобережной части бассейна р. Малого Енисея (Каа-Хем), который заходит в пределы листа лишь на небольшом протяжении в крайнем северо-восточном его углу. На описываемой площади протекают р. Бурен (Брень) — крупный левый приток р. Мал. Енисея и левый приток Бурена — р. Соя, образующаяся при слиянии рек Шурмак и Мажалык. Крайний юго-запад площади относится к бассейну р. Тес-Хем, владающей в оз. Убсу-Нур.

Климат в районе резко континентальный. Средняя зимняя температура минус 35°, средняя летняя — плюс 25°. Годовое количество осадков составляет 300—400 мм. Большая, восточная часть района покрыта тайгой; на северо-западе имеются лишь небольшие массивы парковых лесов. Основную роль среди древесных пород играют лиственница и кедр, по долине р. Бурен значительно распространена береза, а на левобережье р. Сой — сосна.

Площадь листа М-46-XII сравнительно с более восточными районами Тувы освоена и заселена. Главные населенные пункты — поселки Балгаазин и Ильинка. Основное занятие населения — сельское хозяйство (преимущественно животноводство). За последние годы в связи с освоением целинных земель на левобережье Бурена и Соя значительное развитие получило земледелие (зерновые культуры).

По территории района проходит одна из основных автомобильных дорог Тувы, соединяющая г. Кызыл с юго-восточ-

тыми районами области. Несколько дорог местного значения имеются в северо-западной и северной частях района. На горе по Бурену, Хальну, Сербiku и другим рекам имеются хорошие выочные тропы, местами пригодные для гужевого транспорта.

Первые сведения о геологическом строении описывающегося района связаны с деятельностью Финской экспедиции профессора Седерхольма 1915—1917 гг. При этих исследованиях было отмечено, что в районе широко развиты интрузивные породы, которые разделялись на три комплекса: диориты и габбро, серые граниты (плагиограниты) и красные граниты, было открыто несколько железорудных промыслов скарнового типа. Встреченные в районе Бельбяя красноцветные песчаники по аналогии с Минусинской котловиной относились к девону [14].

Следующим крупным событием в истории геологического изучения района явилось картирование в масштабе 1 : 1000 000. Оно было выполнено в 1946—1947 гг. геологами Центральной Аэрогеологической экспедиции И. И. Белостокским, В. В. Архангельской, А. Г. Кац и другими [17ф]. По представлениям этих исследователей, наиболее древние отложения района датированы кембрием. В составе кембрийских отложений выделялись две толщи. К нижней (метаморфической) толще относились мраморы, различные сланцы, амфиболиты и роговики (юго-восточная часть территории и смежные с ней районы). В этой толще в бассейне р. Бобуш-Ой были обнаружены неясные органические остатки, напоминающие археоплаты. Эти остатки не определялись специалистами и принадлежность их к археоплатам следует считать совершенно условной. К верхней (эффузивной) толще были отнесены порфириты юго-западного склона хр. Восточный Танну-Ола.

Несколько западнее площади листа в верховьях р. Теректыг-Хем И. И. Белостокский в этой толще наблюдал и описал рифы археоплатовых известняков. Более молодые толщи относились И. И. Белостокским к девону: эффузивная — к нижнему, а красноцветная — к среднему. Схема расчленения интрузивных пород, выработанная при картировании в масштабе 1 : 1 000 000, оказалась в общем близкой к представлениям геологов Финской экспедиции.

В 1950 г. юго-западная часть площади листа М-46-XII картировалась в масштабе 1 : 200 000 В. И. Серпуховым, П. В. Костиньым и др. Эффузивы юго-западного склона хребта Восточный Танну-Ола при этом были отнесены к нижнему — среднему кембрию [25ф]. Примерно в это же время фауна кембрийских отложений из смежных с запада частей хр. Восточный Танну-Ола изучалась Н. В. Покровской. В результате этих исследований Н. В. Покровская пришла к выводу о нижнекембрийском возрасте отложений, содержащих фауну [13].

В 1951 г. весь район был покрыт аэромагнитной съемкой масштаба 1 : 100 000 [19ф].

В 1952 г. описываемый район картировался в масштабе 1 : 200 000 геологами Всесоюзного аэрогеологического треста: А. В. Ильиным и В. М. Моралевым (западная половина), а также В. В. Архангельской и В. А. Онищенко (восточная половина). Результаты работ по западной половине листа сводятся к следующему [20ф]: древнейшие отложения, развитые в осевой части хр. Восточный Танну-Ола и в более северных частях района (различные сланцы, мраморы и роговики) относились к нижнему — среднему кембрию; эффузивы района Балгазина, правобережья р. Шурмак и юго-западного склона хр. Восточный Танну-Ола устюжно датировались нижним силуром (ордовиком). Для эффузивов юго-западного склона хр. Восточный Танну-Ола предполагалась возможность более древнего (кембрийского) возраста. Для немых красноцветных отложений района поселка Балгазин усматривалось сходство с фаунистически характеризованными красноцветами верхнего силура восточной части Убсу-Нурской котловины. Вследствие этого сходства первые также относились к силуру.

Презнейшими интрузивными породами считались гипербазиты, относившиеся к нижнему кембрию; интрузии таннуольского комплекса датировались как доордовикские, а бреннинский интрузивный комплекс был отнесен к «преготландинским» (до-верхнесилурийским) интрузиям. Многие из этих положений, как показали дальнейшие исследования, оказались ошибочными.

В результате работ В. В. Архангельской и В. А. Онищенко в восточной половине площади листа были впервые выделены докембрийские отложения [16ф]. К ним относились «мраморы и кристаллические парасланцы» бассейнов рр. Бобуш-Ой и Биштука на правобережье р. Бурена. Близкие по составу и степени метаморфизма породы, развитые северо-восточнее и южнее, считались уже нижнекембрийскими. Более высокое стратиграфическое положение предполагалось для эффузивных, терригенных и карбонатных пород правобережья р. Бурена, против устья Сои, датировавшихся нижним — средним кембрием. Эффузивы района Бельбяя считались нижнедевонскими, а песчаники — среднедевонскими. Возраст Бреннского гранитного массива предполагался нижнедевонским.

В 1954 г. Г. В. Пинус в толще, отнесенной В. В. Архангельской к нижнему — среднему кембрию, на правом берегу р. Бурена обнаружил остатки трилобитов нижнего — среднего кембрия. В 1954 г. А. М. Данилевич у пос. Балгазин в красноцветах, отнесенных А. В. Ильиним и В. М. Моралевым к верхнему силуру, были найдены споры растений верхнего девона [18ф]. Благодаря работам В. Е. Кудрявцева для главнейших интрузивных комплексов описываемого района были получены данные абсолютного возраста.

В 1957 г. А. В. Ильин и Т. А. Ильина выполнили несколько маршрутов на юго-востоке, юго-западе и в центре района [23ф]. В результате этого выяснилось, что отложения юго-восточной части района достаточно строго сопоставимы с отложениями смежных с юга районов, вследствие чего могут быть отнесены к докембрию (верхнему протерозою). В разрезе этих отложений были открыты железистые кварциты, которые в пределах нагорья Сангилен встречаются только в докембрии. В месте находки Г. В. Пинусом триLOBитов (район пос. Ильинка) были обнаружены археодиаты. Последние наблюдались также в эффузивной толще юго-западного склона хребта Восточный Танну-Ола в нескольких километрах к западу от границы района. При редакционных работах, проведенных на площади листа М-46-XII в 1958 г. А. В. Ильиным совместно с В. С. Павленко и А. Я. Шараскиным, были расчленены и закартированы докембрийские отложения, тщательно изучены нижнекембрийские отложения правобережья р. Бурена, против устья р. Сой, впервые обнаружены пиллербазиты актюбракского комплекса и т. п. [23ф].

На основу геологической карты листа М-46-XII положены карты масштаба 1 : 200000, составленные А. В. Ильиным, В. М. Моралевым, а также В. В. Архангельской и В. А. Онищенко с исправлениями, внесенными редакционными работами.

## СТРАТИГРАФИЯ

На площади листа М-46-XII распространены докембрийские (верхнепротерозойские), нижнекембрийские и девонские отложения.

### ПРОТЕРОЗОЙ

#### *Верхний протерозой*

Выделение, расчленение и датировка докембрийских отложений проводится на основании сопоставлений с докембriем смежных с юга районов (нагорье Сангилен). В нагорье Сангилен докембрийские отложения делятся на два комплекса — терригенный (нижний) и карбонатный (верхний). Нижний комплекс расчленяется на тесхемскую и мугурскую свиты, верхний — на бальтийхемскую, чартыскую и нарныскую. Тесхемская и мугурская свиты mestами на Сангилене, а также на площади листа М-46-XII, не выделяются, и отложения нижнего комплекса картируются, как чинчильтская серия (толща).

#### *Чинчильтская серия (Pt<sub>2</sub> ch)*

Отложения чинчильтской серии развиты на юго-востоке района, на двух основных участках. Первый расположен на левобережье р. Бурена (в бассейне р. Сербика), второй охва-

тывает правобережье р. Бурена (бассейн рр. Бобуш-Ой и Биштука) и левобережье р. Сизима (бассейн р. Сизименока). Описываемые отложения являются наиболее древними в районе. Основание их ни на площади листа М-46-XII, ни в нагорье Сангилен не вскрывается. По верхней границе терригенные отложения чинчильтской серии совершили согласно без перерыва, но достаточно резко сменяются карбонатными породами бальтийхемской свиты. Налегание последней на чинчильтскую серию наблюдалось на правобережье р. Бобуш-Ой в ядре одноименной синклинали<sup>1</sup>.

К чинчильтской серии относек комплекс первично терригенных метаморфических пород, представленных слюдяными и амфиболовыми сланцами, слюдяными кварцитами и инъекционными гнейсами. В верхах серии имеются пласти желелистых кварцитов.

В первом из отмеченных выше участков в бассейне р. Сербика наиболее низкие горизонты серии выходят, по-видимому, на левом берегу этой реки. Они представлены серыми и желтоватыми биотитовыми гнейсами инъекционного типа, а также биотитовыми и кварцитовидными сланцами и в меньшей степени — мраморами. Более высокая часть разреза обнажена в междуречье Сербика и Бурена. В различных местах этого участка породы отличаются друг от друга по степени метаморфизма.

На севере (параллель устья р. Чарыша) преобладают кварциты: серые и темно-серые, тонкозернистые, серые слюдяные, черные углисто-слюдяные, а также пятнистые тонкозернистые роговико-заподобные существенно кремнистые породы. Реже встречаются известняки, амфиболовые сланцы. В верхах разреза отмечено два пласта черных полосчатых углистых зистых (магнетитовых) кварцитов. Нижний пласт имеет мощность 12—13 м, верхний — не более 2—3 м. Пласти отделены друг от друга пачкой светло-серых тонкозернистых кварцитов и углисто-кварцитовых сланцев, мощностью не менее 50 м. В 5—6 километрах юго-восточнее по простираннию наблюдаются серые тонкополосчатые слюдяные, слюдяно-гранатовые, слюдяно-силиманитовые сланцы, слюдяные кварциты с более крупными чешуйками стюд, амфиболовые сланцы. Изредка встречаются слюдяные инъекционные гнейсы. Карбонатные породы представлены здесь мелко- и среднезернистыми белыми сахаровидными мраморами. Роль их незначительна.

Еще далее к юго-востоку, у устья р. Чедралик, преобладают слюдяные сланцы с гранатом и силиманитом и инъекционные гнейсы с жилами гранитов. Инъекционные гнейсы с жилами различной формы залегают здесь и далее в тексте структуры изображены на при-

<sup>1</sup> Упоминаемые здесь и далее в тексте структуры изображены на при-

Три описанные участка, располагающиеся в межлучерье Сербика и Бурена, охватывают юго-западное крыло Бобуши-Ойской синклинали; они сложены породами средней и верхней частей чинчилгской серии и расположаются на простирации друг друга. Степень метаморфизма отложений заметно увеличивается в направлении с северо-запада на юго-восток от тонко-зернистых роговиков полобных кремнистых пород и роговиков до инъекционных плагиоклазовых слюдяных гнейсов и кристаллических сланцев.

Во втором участке (правобережье р. Бурена) и левобережье р. Сизима), по западному крылу Бобуши-Ойской синклинали наблюдаются тонкозернистые слюдяные кварциты, амфиболевые сланцы и кварциты. По восточному крылу отмечаются слюдистые полосчатые желтовато-серые биотитовые, биотито-гранатовые, биотито-силиманитовые (фибролит) инъекционные гнейсы, зеленые амфиболиты, амфиболевые сланцы, зелено-вато-серые силиманито-биотитовые и двуслюдянные сланцы. Для этого участка характерно широкое распространение амфиболитов, амфиболовых сланцев и других амфиболсодержащих пород.

Гнейсы чинчилгской серии состоят из кварца, плагиоклаза (олигоклаз-андезина), биотита; в некоторых разностях присутствуют силлimanит и калиевый полевой шпат. Изредка наблюдаются кордиеритовые гнейсы. В породах, относимых к гнейсам, полевые шпаты преобладают над кварцем. Гнейсы характеризуются гранобластовой, либо лепидогранобластовой структурой, полосчатой текстурой. В сланцах полевые шпаты присутствуют в меньших количествах. Структура сланцев — лепидогранобластовая, текстура — отчетливо сланцеватая.

Амфиболиты состоят в основном из полевой обманки (иногда щелочной), составляющей до 60—70% породы. Остальное приходится на долю плагиоклаза (кислый андезин), кварца, минералов эпидотовой группы и магнетита. Некоторые разности амфиболитов отличаются от других пород толщи большими количествами кварца и имеют четко выраженные полосчатые текстуры.

Видимая мощность чинчилгской серии составляет не менее 3000 м.

#### *Балыктыгхемская свита (Рt<sub>2</sub> bl)*

Отложения балыктыгхемской свиты распространены также в юго-восточной части района. С более молодыми образованиями, исключая интрузивные, эти отложения здесь не контактируют.

Балыктыгхемская свита сложена почти исключительно мраморами. Послойный разрез ее неизвестен. Среди мраморов выделяются следующие разности: светло-серые мелкозернистые,

полосчатые безграфитовые, белые мелко- и среднезернистые безграфитовые, серые среднезернистые с линзочками и прямазками угластого вещества, плитчатые серые мраморы с пиритом, мелкозернистые сахаровидные мраморы с графитом, белые крупнозернистые мраморы с графитом. В большинстве случаев породы яснослойисты, часто тонкоголосчаты. Резко подчиненную роль в составе толщи играют кварциты, которые присутствуют среди мраморов как в виде миллиметровых полосочек, так и в виде более мелких слоев.

Мраморы балыктыгхемской свиты состоят из кристаллов кальцита величиной от 0,1 до нескольких миллиметров. В неизначительном количестве (обычно менее 10%) присутствуют кварц, гранат, диопсид, графит. Текстура пород сланцеватая, структура гранобластовая.

Видимая мощность балыктыгхемской свиты около 2000 м. Балыктыгхемская свита и чинчилгская серия датируются верхним протерозоем по следующим соображениям. В нагорье Сангилен известен непрерывный мощный разрез докембрийских стоянений, начинающийся чинчилгской серией и венчающийся нарынской свитой [8, 22]. Степень регионального метаморфизма даже в самых низах этого разреза невелика и не позволяет считать эти отложения архейскими. В то же время в верхах разреза (нарынская свита) изобилуют онколиты и водоросли, аналогичные водорослям из синийского комплекса Прибайкалья [22]. Поэтому отложения, расположавшиеся в непрерывном разрезе ниже нарынской свиты, условно относятся к верхнему протерозою. Распространенные на площади листа М-46-ХII отложения чинчилгской серии и балыктыгхемской свиты по строению разреза, наличию железистых кварцитов в верхах чинчилгской серии, характеру первичных пород, степени метаморфизма сходны с соответствующими толщами Сангилена, особенно с теми, которые развиты в смежной северо-западной части нагорья.

### ПАЛЕОЗОЙ

#### *Кембрийская система*

#### *Нижний отдел*

#### *Кускунгурская толща (Ст<sub>1</sub> ks)*

Отложения кускунгурской толщи распространены в основном на трех участках: на правобережье р. Бурена против устья р. Сон, на крайнем северо-западе территории листа и на юго-западе, в хр. Восточный Танну-Ола. С более молодыми как и с более древними осадочными образованиями кускунгурская толща в описываемом районе не контактирует, исключая балгасинскую толщу верхнего девона, которая ложится на нее с перерывом и резким угловым несогласием.

Кускунгская толща сложена кварцитами, хлоритовыми и амфиболовыми сланцами, известняками, измененными эффиузиами и различными роговиками.

На правобережье р. Бурена в нижней части разреза (бассейн р. Бельбей) обособляется мощная чрезвычайно монотонная толща, сложенная желтоватыми, розоватыми, белыми сахаровидными и серыми кварцитами. Кроме кварцитов, в составе этой толщи очень редко встречаются слюдистые кварциты. Мощность ее около 100 м.

Более высокая часть разреза обнажена в бассейне руч. Баянкой, где, судя по фактическому материалу В. В. Архангельской [16ф], наблюдаются измененные рассланцованные эффиутивные породы среднего и основного состава.

В верхней части разреза на правобережье р. Бурена значительную роль играют карбонатные породы (известняки, мраморизованные известняки), слагающие пласти. Мощность до 80—100 м. Помимо известняков здесь наблюдаются кремнистые, кремнисто-серидитовые, хлоритовые сланцы, сланцы песчаникам и туфопесчаникам, кварцевые гравелиты, стально-серые кремнисто-известковистые тонкозернистые сливные сланцы с тонкой суплифидной вкрапленностью. Кроме того, встречаются прослой зеленовато-серых порфиритов и их туфов, а также темно-серых фельзитов, черных кварцевых порфиров и их туфов.

Видимая мощность кускунгской толщи на правобережье р. Бурена составляет около 2000 м.

В двух других участках породы кускунгской толщи почти повсюду сильно ороговикованы.

На северо-западе в районе гор Сыргалыг-Тайга и замка Шамбалыг к отложению описываемой толщи отнесены различные роговики, ороговикованные и скарнированные породы прорванные многочисленными жилами и штоками диоритов, диорит-порфиритов, лабро-диоритов. Частая перемежаемость и тесная связь первично осадочных контактовоизмененных пород с интрузивными породами, преимущественно средними и основными, является весьма характерной для описываемого участка. Из этого комплекса пород выделяются мраморы, образующие линзы, прослой и пачки мощностью до 100—120 м; некоторые пачки мраморов прослеживаются на расстояние 8—10 км и более.

Ниже приводится один из разрезов кускунгской толщи, описанный А. В. Ильиным и В. М. Моралевым в 1952 г. на северо-западе в районе замка Шамбалыг, на участке одноименного месторождения магнетитовых руд [20ф]. Разрез описан снизу вверх, мощность в метрах:

1. Переслаивающиеся роговики, сканцы, скарнированные породы, мраморы, ороговикованные сланцы. Среди роговиков отмечаются спиломанит-магнетитовые, амфиболовые и биотитовые

разности; скарны представлены гранатовыми, магнетитовыми, пироксеновыми, эпилитовыми разностями, сланцы — хлоритовыми, амфиболовыми, кордиерит-спиломанитовыми. Часто встречаются диориты и диорит-порфириты измененные, рассланцованные.

100

2. Белые мелко- и среднезернистые мраморы 50—70

3. Преслаивающиеся роговики, сканированные породы, скарны, мраморы. Здесь еще более часто встречаются согласные тела разнообразных жильных измененных пород основного и среднего состава 300—400

4. Белые среднезернистые мраморы 200

5. Выше мраморов снова следуют роговики, скарны, скарнированные породы, мраморы, ороговикованные сланцы 100

Общая мощность приведенного разреза составляет около 800 м.

В других участках на северо-западе Изрелка встречаются хлорит-эпилито-карбонатные сланцы и рассланцованные кислотные эффиузвивы типа кварцевых порфиров.

Примерно тот же состав имеет кускунгскую толщу в осевой части хр. Восточный Танну-Ола. Наиболее широким распространением пользуются здесь зеленые полосчатые и тонколосчательные амфиболовые ороговикованные сланцы и амфиболиты.

Менее широко развиты слюдяные сланцы и слюдяные роговики.

На северном склоне хребта довольно обычны пачки и линзы мраморов, местами также скарнированных. Роговики, сланцы и мраморы здесь очень тесно перемежаются с полосчатыми и гнейсогиднными интрузивными породами кислого, среднего и основного состава.

Ниже приводится краткая петрографическая характеристика главнейших пород кускунгской толщи.

Кварцы состоят из зерен кварца размером от сотых долей миллиметра до миллиметра; они имеют роговиковую структуру и сланцеватую либо массивную текстуру.

В составе рассланцованных порфиритов преобладают плагиоклаз, эпилит, актинолит, хлорит, кварц. Породы имеют сланцеватую текстуру, лепидобластовую структуру. Изрелка сохраняется реlictовая порфировая, либо миндалекаменная структура.

Кислые эффиузивные породы сильно окварцированы и серидитизированы; обычно они лучше сохраняют порфировую структуру.

Мраморы состоят из кальцита, небольшого количества кварца и рудного минерала. Они имеют гранобластовую крупнозернистую структуру и либо сланцеватую, либо массивную текстуру. Роговики имеют роговиковую или гранобластовую структуры, иногда реlictовую порфировую или порфировидную; текстуры — тонкотолосчатые или сланцеватые. Основную роль в составе роговиков играют плагиоклаз (андезин от № 35 до № 45), кварц и амфибол. В меньших количествах встречаются биотит и пироксен. Местами в породах этой группы присутствуют спиломанит, кордиерит, гранат. Для некоторых разностей

ротовиков при микроскопическом изучении устанавливается первично эфузивная природа.

Амфиболиты состоят в основном из роговой обманки (60—70%) и плагиоклаза (андезин 45—лабрадор 55). Они имеют сланцеватую, либо массивную текстуру, иногда наблюдалась реликтовая порфировая структура.

В амфиболовых сланцах очень четко выражена тонкосланцеватая текстура; структура обычно нематобластовая. Сланцы состоят из длиннопризматических или игольчатых кристаллов роговой обманки (от 30 до 80%), кварца и небольшого количества плагиоклаза. Некоторые амфиболиты и амфиболовые сланцы, несомненно, произошли за счет эфузивных пород. Для большинства разностей характер первичных пород неясен.

Возраст кускунгутской толщи определяется тем, что известняки верхней части толщи на правом берегу р. Бурена, у устья руч. Мельничного содержат прослой известковистых сланцев, в которых, согласно устному сообщению Г. В. Пинуса, изредка встречаются остатки трилобитов *Chonetragulus* sp., *Koetiella* sp. (находки Г. В. Пинуса, определение Н. В. Покровской). В. М. Моралевым в шлифах известняков были обнаружены обломки иглокожих, трилобитов, а также остатки водорослей рода *Girvanella* [16]. В известняках встречаются также остатки археоплат, губок, брахиопод, гиолитов (сборы авторов записки). Среди них И. Т. Журавлева определила *Coscinoscyathus* cf. *dianthus* Богн., *Protopharreta polycoela* Vologd., *Archaeolynthus solidimurus* (Vologd.), *Ajacithus* sp., *Cambroporella rimosa* (Vologd.), *Rackovskia* sp., *Chancelloria* sp. и другие, указывающие, по ее мнению, на ленский ярус нижнего кембрия. По мнению Н. В. Покровской, трилобиты, обнаруженные в кускунгутской толще совместно с археоплатами, отвечают также нижнему кембрию.

Мощность кускунгутской толщи около 2000 м.

### Таннульская толща (Ст<sub>1</sub>, тп)

Таннульская толща развита незначительно, ее отложения встречены лишь на крайнем юго-западе территории листа — на юго-западном склоне хребта Восточный Танну-Ола. Она не контактирует с более древними отложениями и резко несогласно перекрывается красноцветами верхнего девона.

Ганнуольская толща представлена почти исключительно эфузивами слабо измененными, преимущественно среднего состава. Породы свиты нестыкуются. Среди них наиболее часто встречаются плагиоклазовые порфиры, а также их туфы. Им свойственны зеленовато-серые, буроватые и желто-ватые окраски. Характерными разновидностями эфузивов и туфов являются следующие: 1) зеленовато-серые плагиоклазо-

вые порфиры; 2) светло-серые сферолитовые плагиопорфиры, сферолитовые выделения имеют радиально-лучистое строение, их диаметр около 2—3 мм; 3) сероватые и молочно-белые фельзиты с обильной (3—7%) тонкораспыленной сульфидной вкрапленностью (в основном пирит), имеющие ржаво-бурую окраску выветрелой поверхности; 4) темно-серые кристаллопластические туфы кварцево-плагиоклазовых порфиров с крупными и весьма обильными обломками кристаллов плагиоклаза и кварца; 5) пянистые грубозернистые туфы плагиопорфиев с обломками буро-коричневого и сургучного цвета величиной до 1 см.

Изредка в составе толщи наблюдаются туфогенные песчаники на выветрелой поверхности песчаников видна тонкая слойность.

Порфириты таннуольской толщи состоят из основной массы, имеющей интэрсергальную структуру, и вкраплениников измененного плагиоклаза и авгита. Породы хлоритизированы и карбонатизированы. Плагиопорфиры имеют фельзитовую, микрозернистую либо сферолитовую основную массу, состоящую из кварца и плагиоклаза. Вкраплениники представлены хлоритизированным альбитизированным плагиоклазом. В некоторых породах основная масса нацело замещена кварцем, серпентитом и хлоритом. К этим породам приурочена тонкая вкрапленность сульфидов (преимущественно пирита).

Возраст таннуольской толщи определяется следующими данными. В одном километре к югу от границы района таннуольская толща резко несогласно перекрывается фаунистически охарактеризованными отложениями уинлокского и, возможно, лудлосского ярусов силурийской системы. Отсутствие на смежных территориях отложений ордовика позволяет предположить кембрийский возраст для описанных отложений. На площади листа М-46-XII они не содержат каких бы то ни было органических остатков. Последние известны в 5—7 км западнее, «куда непрерывно прослеживаются эфузивы. Здесь в восточной части крупного известнякового массива на водоразделе рек Теректыл-Хема и Ужарлыл-Хема и в небольшой линзе в истоках р. Теректыл-Хема авторами записи собраны археоплаты. Среди них И. Т. Журавлева определила: *Leptoscyathus* cf. *regularis* Vologd., *Protopharreta bipartita* Vologd., *Archaeolynthus solidimurus* (Vologd.), *Ethmophyllum regulara* Vologd., *Ajaciscyathus* cf. *ampius* (Vologd.), *Dictyoscyathus* cf. *Salutaricus* (Vologd.), *Coschnoscyathus* sp.; *Cambroporella rimosa* (Vologd.) и др. Согласно И. Т. Журавлевой, комплекс археоплатовой фауны таннуольской толщи в общем отвечает тому же стратиграфическому уровню, что и археоплаты кускунгутской толщи и относятся к нижнему кембрию, к ленскому ярусу. Тела известняков с остатками фауны расположены в горьковой зоне

среди эфузивов, непосредственные соотношения последних с известняками не наблюдались. Скорее всего, они являются эфлогенными образованиями, синхронными вмещающим их эфузивам. Вследствие этого нижнекембрийский возраст для таннуольской толщи наилучше вероятен<sup>1</sup>.

Мощность таннуольской толщи около 1700 м.

Таннуольская толща не имеет на площасти листа М-46-ХII непосредственных контактов с кускунгутской. Последняя лежит в ядре Восточно-Таннуольского антиклинария, а первая — на крыле его. Породы кускунгутской толщи повсеместно четко слоисты и сильно рассланцованны, а таннуольской — массивны и лишены сланцеватости. Городы кускунгутской толщи изменены гораздо сильнее сравнительно с породами таннуольской. Все эти данные свидетельствуют о более древнем возрасте кускунгутской толщи относительно таннуольской. Однако отсутствие прямых соотношений и сходство археодиатовых ценозов обеих свит не снимает вопроса о близости их возраста, а возможно, даже и об одновозрастности.

### Девонская система

#### Нижний отдел

##### Сайльтская толща

Сайльтская толща распространена на двух основных участках: в бассейне р. Шурмака, Сой и по обоим берегам р. Мал. Енисея. На обоих участках толща обнажена плохо.

На левобережье р. Сой отложения сайльтской толщи трансгрессивно перекрывают нижнепалеозойские гранитоиды таннуольского комплекса и несогласно перекрываются верхнедевонской балгазинской толщей.

Сайльтская толща слагается эфузивными породами — плагиоклавовыми порфиритами, кварцевыми порфиритами, а также их туфами, окрашенными в бурые, розоватые, красноватые тона.

На правобережье р. Сой преобладают зеленовато-серые и серые плагиопорфириты и их туфы, преимущественно грубообломочные. Реже встречаются розовато-желтые плагиопорфириты, зелено-черные порфириты, черные кварцевые порфириты и их туфы. Южнее, на правом берегу р. Шурмак, в переслаивании с зеленовато-серыми плагиопорфиритами встречаются красноватые кристаллокластические туфы плагиопорфиритов, черные плагиопорфириты со стекловатой основной массой, а также зелено-черные хорошо раскристаллизованные порфириты с крупными (2—3 м) и многочисленными вкрашениниками плагиоклаза.

В единичных случаях наблюдаются прослои туфопесчаников и буровато-серых известковистых алевролитов.  
На левобережье р. Сой, к западу от пос. Ильинка, наблюдался следующий разрез отложений сайльтской толщи (снизу вверх, мощность в метрах):

1. На кварцевые диориты таннуольского комплекса с размытом налегают темно-зеленные грубозернистые сильно измененные туфы	1,5
2. Бурвато-зеленные фельзиты	1,7
3. Желто-бурые туфы плагиопорфиров с обломками величиной до 0,5 см и миндалинами, выполненные кварцем	1,5
4. Фиолетово-серые плагиопорфириты иногда флюидальные с редкими вкрашениниками	3
5. Светло-желтые пористые безкварцевые плагиопорфириты	10
6. Буро-фиолетовые плагиопорфириты, местами флюидальные	30

На северо-востоке по рекам Бурену и Мал. Енисетя сайльтская толща представлена разнообразными эфузивами и туфами, среди которых выделяются следующие основные разности: плагиопорфириты и их туфы, имеющие розовато-желтую, буро-фиолетовую, красноватую и сургучную окраску; кирпично-красные кварцево-полевошпатовые порфириты; хорошо раскристаллизованные розоватые кварцево-полевошпатовые порфириты. Последние имеют мелкозернистую основную массу, большое количество вкрашениников и весьма напоминают гранит-порфириты и кварцевые порфириты апикальных частей интрузии девонского комплекса, развитой в этих же районах. Весь комплекс эфузивных образований лишен слоистости.

Небольшой участок распространения сайльтской толщи в истоках р. Улуг-Ажик (северо-западная часть листа) характерен в том отношении, что здесь наблюдается переслаивание буро-красных плагиопорфиритов и туфов с туфопесчаниками, туфогравелитами и туфоконгломератами.

Петрографическим изучением установлено, что самыми распространенными породами сайльтской толщи являются плагиопорфириты. Они состоят из вкрашениников и основной массы. Основная масса обычно микролитовая, реже сфералитовая либо стекловатая, измененная с образованием хлорита и сериита. Вкрашениники сложены серицитизированными таблитчатыми кристаллами плагиоклаза (олигоклаз № 23—28) и изредка округлыми оплавленными зернами кварца. Основная масса порфиритов в большинстве случаев имеет микролитовую структуру, значительно изменена; во вкрашениниках, кроме плагиоклаза, иногда присутствует пироксен.

Кварцевые порфириты отличаются от плагиопорфиритов присутствием калиевого полевого шпата как в основной массе, так и во вкрашениниках.

На площасти листа М-46-ХII сайльтская толща фаунистически не охарактеризована. Пространственно она всегда ассоциирует с девонскими гранитами. Эта связь настолько постоянна и тесна, что позволяет предполагать близость эфузивов.

<sup>1</sup> Таннуольская толща отвечает серпиловой свите западной части хр. Восточный Танну-Ола.

сайлыгской толщи и девонских гранитов по времени образованья.

В северной части смежного района (лист № 46-VI) В. Б. Агентовым в составе сайлыгской толщи встречаены конгломераты и песчаники с обугленными остатками древесных стволов и спорами примитивных наземных растений. Такие виды спор, как *Leiotrichites microtigkosus* Waltem., *L. sinicus* Naum., *Ascanhotrietes insertus* Naum., *A. stenotis* Naum., по Е. М. Андреевой, определившей их, являются характерными для отложений нижнего девона [15Ф]. Абсолютный возраст кислой эфузивной породы сайлыгской толщи на смежном севера листе, согласно устному сообщению В. Б. Агентова, составляет 310 млн. лет (определенное аргоновым методом).

Мощность сайлыгской толщи около 1000 м.

Литологическая сайлыгская толща весьма сходна с тануольской свитой. Сходство выражается в том, что обе представляют исключительно эфузивами, состав эфузивов близок для обоих толщ, изменены эфузивы сравнительно слабо и т. д. Некоторые отличия состоят в том, что в сайлыгской толще довольно обычны кварцевые порфиры, редко встречающиеся в тануольской и, возможно, являющиеся субвуликаническими. Для эфузивов сайлыгской толщи характерны буроватые и красноватые тона, а для тануольской — серовато-зеленоватые. Вследствие значительного литологического сходства отнесение эфузивов к сайлыгской толще местами проведено условно (например, междуручье Бурена и Шурмака). В этих участках эфузивы могут оказаться и древнее девонских (нижнекембрийских). Во всех других местах нижнедевонский возраст толщи вполне вероятен.

### Верхний отдел

#### Балгазинская толща ( $D_3 b1$ )

Отложения балгазинской толщи распространены в двух основных участках — на левобережье р. Сой и по обеим берегам Мал. Енисея. Балгазинская толща является наиболее молодой в разрезе коренных отложений. В ряде мест она с размызов залягает на девонских гранитах. Толща почти не обнажена.

Балгазинская толща сложена красноцветными известковистыми косослоистыми песчаниками, гравелитами и конгломератами.

На левобережье р. Сой (на южном склоне горы Можалык) для низов балгазинской толщи известен следующий разрез [20Ф] снизу вверх, мощность в метрах:

1. На измененных дресвянитах выветрелых гранитах девонского комплекса лежат буро-фиолетовые грубозернистые песчаники 1,5—2
2. Буро-красные среднезернистые песчаники 3,7
3. Темно-фиолетовые песчаники 0,4

4. Косослоистые гравелиты песчаники и гравелиты велятами 4
5. Бурые среднезернистые песчаники, переслаивающиеся с гравелитами 6. Средне- и грубозернистые песчаники с линзами косослоистых гравелитов 4
7. Выше следуют бурые средне- и грубозернистые песчаники с тонкими прослоями и желваками глинистой горды 10
8. Выше — известковистые песчаники с прослоями гравелитов и алевролитов. Отмечаются пласти серых и буроватых афанитовых известняков, иногда глинистых. Средняя часть толщи представлена светло-серыми и желтоватыми известковистыми косослоистыми песчаниками. В верхней части разреза буроватые песчаники переслаиваются с гравелитами и конгломератами. В самых верхах толщи грубообломочные породы преобладают. Мощность балгазинской толщи в этом участке составляет 1200—1500 м.

На северо-востоке по р. Мал. Енисею, в основании балгазинской толщи залягают красноцветные конгломераты с галькой эфузивов сайлыгской толщи, кварца, девонских гранитов и т. д. Выше следуют туфобрекции, туфы и плагиопорфирь; они сменяются песчаниками. Мощность нижней части балгазинской толщи около 100 м.

Далее следуют буро-красные мелко- и среднезернистые известковистые тонкослоистые (2—10 см) песчаники (200—300 м).

Выше наблюдаются известковистые гравелиты с тонкими прослоями белых кварцево-полевошпатовых известковистых песчаников. Встречаются тонкие неодержанные прослои и линзы розовато-серых афанитовых известняков и тонкие полоски сургучных кремнеподобных фельзитов. Выше — пласти афанистовых известняков и известковистых гравелитов (900 м).

Далее следуют бурые и красноватые средне- и крупнозернистые известковистые песчаники.

Общая мощность разреза около 1500 м.

Балгазинская толща распространена еще в двух небольших участках: в районе к юго-западу от заимки Шамбалыг и на южном склоне хр. Восточный Танну-Ола. На первом участке толща представлена красно-бурыми песчаниками, гравелитами и конгломератами, на втором — буроватыми и малиновыми среднезернистыми косослоистыми песчаниками с кварцево-карбонатным и полимиктовым цементом; иногда в песчаниках наблюдаются трещины усыхания и следы ползания червей.

При петрографическом исследовании установлено, что среди обломочного материала песчаников балгазинской толщи преобладает кварц и плагиоклаз. Меньшее значение имеют калиевый полевой шпат и обломки пород. Цемент чаще всего базальтого типа, по составу преимущественно кальцитовый. В конгломератах галька хорошо окатана. Среди галек встречены:

кварцевые порфирры с микролегматитовой и микроаллитовой

основной массой с вкрапленниками плагиоклаза и кварца, мел-  
козернистый порфировидный гранит, в значительной мере

состоящий из калиевого полевого шпата, аplit, кварцит и др.

Известняки микро- и тонкозернистые с небольшой примесью  
обломочного алевритового материала, иногда имеют псевдо-

олитовую структуру.

В отложениях балгазинской толщи в районе пос. Балгазин А. М. Данилевич были собраны породы с углистыми примаз-  
ками, в которых Е. М. Андреева определила споры *Zonotriletes*  
*intortus*, *Z. luteus*, *Z. limbosus*, *Salvinia natans*. Эти формы, по  
Е. М. Андреевой, характеризуют верхний девон и, возможно,  
нижний карбон [18Ф]. По Н. Н. Предтеченскому, изучавшему  
в последние годы более полные разрезы девона в смежном  
с запада районе (лист М-46-ХI), балгазинская толща относится  
к верхнему девону и отвечает хокайской и бегрелинской свитам  
франского яруса верхнего девона в Центральной и западной  
Туве (устное сообщение).

Мощность балгазинской толщи 1200—1500 м.

### Четвертичная система

#### Нижний(?) отдел ( $Q_1$ )

**Аллювиальные галечники, пески, валуники.** К нижнему  
отделу четвертичной системы отнесены аллювиальные отложе-  
ния высоких террас по левому берегу р. Шурмака, против устья  
р. Баян-Гола. Здесь, у подножья хр. Восточный Танну-Ола  
наблюдается комплекс террас. Наиболее высокие террасы воз-  
вышаются на 150—170 м над современным уровнем р. Шур-  
мака, более низкие — расположаются на высоте 120—130 м и  
90—100 м. Все террасы являются цокольными. Аллювиальные  
отложения встречаются лишь на отдельных участках поверх-  
ности террас и имеют небольшую мощность (2—3 м). Они  
представлены галечниками с рыхлым песчаным цементом. Зна-  
чительную роль в составе рыхлых отложений играет плохоока-  
танный материал, видимо, проловиального происхождения.

К нижнему отделу четвертичной системы эти отложения отне-  
сены условно. На площади смежного с юга листа М-46-ХVIII,  
в верхнем течении р. Шурмака, на террасах высотой около  
150 м расположаются галечники. Эти галечники смыкаются с  
рыхлыми отложениями перевала Чжа-о-ва-арт (лист М-46-ХVIII),  
которые Н. И. Паршикова путем сопоставлений с более север-  
ными и западными районами Тувы относят к нижнему отделу  
четвертичной системы (7, 21Ф). Описанные аллювиальные отло-  
жения располагаются примерно на том же уровне, что и в верх-  
нем течении р. Шурмака, вследствие чего они условно отно-  
сятся также к нижнему отделу четвертичной системы.

#### Средний(?) отдел ( $Q_2$ )

**Аллювиальные галечники и пески.** Аллювиальные отложе-  
ния террас среднего (?) отдела имеют весьма незначительное  
распространение. Они известны по левобережью р. Шурмака  
против устья р. Баян-Гола, а также на левобережье р. Мал.  
Енисей, у устья рек Бельбей и Мизина. Везде эти террасы  
имеют высоту около 60—70 м. Аллювиальные отложения террас  
левобережья р. Шурмака сложены буровато-желтыми, сильно  
слюдистыми суглинками мощностью около 50 м.

У устья р. Сизим террасовые отложения сложены галечни-  
ками и песками, по р. Бельбей верхние горизонты мощных  
аллювиальных накоплений представлены сугесиями, песками  
с прослоями гравия.

Аллювиальные отложения террас высотой 60—70 м отно-  
сятся, по-видимому, к среднему отделу четвертичной системы,  
так как фауна верхнего отдела в Туве присутствует обычно  
в аллювии более низких (15—40 м) террас [3].

Мощность описанных отложений от 1—2 до 40—50 м.

#### Верхний отдел ( $Q_3$ )

**Аллювиальные пески, супеси, галечники.** Аллювиальные  
отложения террас верхнего отдела распространены по левобе-  
режью р. Шурмака и в нижнем течении р. Бурена, где они  
сохранились на отдельных обрывках террас высотой около  
15—20 м. В среднем течении р. Шурмака они представлены  
преимущественно песчаными породами, в которых встречаются  
горизонты гравия с суглинками. Мощность их достигает здесь  
10 м.

В низовьях р. Бурена и в среднем ее течении местами  
наблюдались галечники с прослоями песков, мощностью 8—  
10 м.

В среднем течении р. Ишкендера в уступе 25-метровой тер-  
расы наблюдались суглинки видимой мощностью около 5—6 м.  
Появление тонкозернистых пород в составе террасовых отложе-  
ний верхнего отдела свойственно северо-западной части района,  
охватывающей Центрально-Тувинскую котловину.

Аллювиальные отложения террас высотой 15—25 м на пло-  
щади листа М-46-ХII не содержат органических остатков. Юго-  
восточнее, в верхнем течении р. Мал. Енисея (р. Эми), в них  
известна фауна верхнего отдела четвертичной системы [3].  
В других частях восточной Тувы фауна млекопитающих верх-  
него отдела встречается в отложениях террас высотой от 15—20  
до 30—40 м. Вследствие этих данных аллювиальные отложе-  
ния террас среднего уровня отнесены к верхнему отделу чет-  
вертичной системы.

**Моренные пески, валуники.** В верховьях рр. Сертика и  
Бурена наблюдаются отложения конечной морены, мощность,

по В. В. Архангельской, до 130—150 м, а возможно, до 200 м [16ф]. Эти отложения представлены грубым бурым и буровато-серым, плохо сортированным песчаным, песчано-глинистым материалом с множеством крупных, плохо окатанных валунов.

Боковые морены расположены по долинам этих же ключей в виде высоких (20—30 м) валов. Отложения боковых морен очень сходны с отложениями конечных морен и отличаются лишь более грубым материалом.

По левобережью р. Хальна в верховье руч. Абсрат имеются флювиогляциальные отложения, перекрытые аллювиальными образованиями [16ф]. По вещественному составу флювиогляциальные отложения сходны с моренными (конечных морен), но представлены более тонкозернистыми разностями — песками и супесями с редкими включениями галек и валунов. На крайнем юго-востоке Тувы [3], а также на северо-востоке ее [16ф] в моренных и флювиогляциальных отложениях известны находки фауны млекопитающих верхнего отдела. Вследствие этого ледниковые отложения плодили листа М-46-ХII также относятся к верхнему отделу четвертичной системы.

### Верхний и современный отделы ( $Q_{3+4}$ )

*Делювиальные суглинки, супеси, пески, щебни, гравий* довольно широко распространены на северо-западе в восточной части Центрально-Тувинской котловины. Они занимают большие пространства на пологих склонах широких долин, спускающихся к их днищам, а местами образуют почты сплошной покров. В бассейнах руч. Алуг-Ажик и р. Шамбалыг делювиальные отложения представлены желтовато-серыми песками, супесями, суглинками с гравием и шебенкой [20ф].

Характерной чертой покровных отложений Центрально-Тувинской котловины является наличие в их составе переслаивающихся делювиальных и эоловых песков.

Мощность делювиальных отложений составляет до 15—20 м. В долине северного и северо-восточного подножий хр. Восточного Танну-Ола широко распространены пролювиальные отложения предгорного шлейфа. Конусы выноса мелких потоков, сливаясь вместе, образуют пролювиальный шлейф, мощность которого постепенно уменьшается по мере удаления от хребта. Шлейф сложен грубообломочным, плохоокатанным песчано-галечным и валунным материалом. В нижних частях конусов выноса преобладают плохо сортированные пески и галька.

Мощность отложений этого типа достигает до 30—40 м. К западу от с. Кызыл-Аргыг делювиальные и пролювиальные отложения перекрывают трехметровую террасу, а севернее Г. Байлаг — десятиметровую террасу р. Шурмака. Обе эти террасы относятся к современному отделу. На плодинах листа М-46-ХII, а также южнее [7] наблюдалось, что делювиально-

пролювиальные отложения частично являются синхронными террасам среднего уровня (верхний отдел). Вследствие этих данных они относятся к верхнему и современному отделам.

### Современный отдел ( $Q_4$ )

*Аллювиальные пески, супеси, галечники пойм, русел и низких террас.* В этом комплексе обединены русловой и пойменный аллювий, а также аллювиальные отложения 2-, 4- и 8-10-метровых террас.

Аллювиальные отложения пойм, русел и низких террас имеются по всем крупным рекам. Главным образом они развиты по рекам Шурмаку, Сое, Мажалыку, Бурену, Мал. Енисею и незначительно — в среднем и нижнем течении руч. Алуг-Ажик и р. Шамбалыг.

В районе в зависимости от геоморфологических условий выделяются три основных типа современных аллювиальных отложений.

Первый тип, распространенный на северо-западе, характеризуется резким преобладанием тонкозернистых отложений. В составе руслового, пойменного и особенно террасового аллювия почти исключительное развитие имеют пески — желтоватые и желто-серые с редкой шебенкой. В отдельных прослоях встречаются галечники. В составе террасовых отложений помимо аллювиальных песков значительную роль играют золовые.

Мощность отложений этого типа около 10 м.

Аллювиальные отложения второго типа развиты на западе и в центральной части района (долины рр. Сои, Мажалыка, Шурмака, Бурена). Для них характерно обилие галечного и валунного хорошо окатанного и сортированного материала. Видимая мощность аллювия более 5 м.

Для третьего типа, распространенного по долинам рек, стекающих с хр. Восточный Танну-Ола, характерен лишь русловой аллювий. Террасовые отложения здесь практически отсутствуют. Аллювиальные отложения представлены крупнообломочным глыбовым и валунным плохо окатанным материалом. Мощность аллювиальных отложений непостоянна (от 0 до 5 м).

*Эоловые пески.* Эоловые отложения в виде широкой полосы грядовых линий песков протягиваются в северо-западном направлении от долины р. Мажалыка. Пески — существенно кварцевые желтовато-серого цвета, мелкозернистые, слабо ожелезненные. Они выполняют пониженные участки рельефа. В настущее время они находятся в стадии зарастания и превращаются в боровые пески. Лишь изредка среди них наблюдаются участки перевеваемых песков. Незакрепленные эоловые пески известны также в среднем течении руч. Алуг-Ажика, где они ложатся на поверхность

6-метровой террасы, располагаются на склонах долин и перекрывают водоразделы.

В районе к западу от с. Владимиировка золовые пески перекрывают аллювиальные отложения 8—10-метровой террасы, срезаясь побой р. Соли. Отсюда следует, что они относятся к отложениям современного отела.

Мощность золовых отложений достигает 40—50 м.

Помимо выделенных на карте четвертичных отложений, местами широко развиты элювиальные образования. К ним относятся галечники, которые развиваются на участках, сложенных конгломератами верхнего девона. Элювиальное происхождение, по-видимому, имеют глины, образующиеся по более тонкозернистым породам верхнего девона. В районе расположены также морозно-солифлюкционные отложения, представленные каменными россыпями на гольцах, а также современные болотные отложения.

## ИНТРУЗИВНЫЕ ПОРОДЫ

На площади листа М-46-ХII интрузивные породы развиты весьма широко. Среди них выделяются несколько самостоятельных комплексов, отличающихся друг от друга по времени формирования и по составу пород. Наиболее широкое распространение пользуется нижнекембрийский интрузивный комплекс. Почти же обширны девонские интрузивные породы. Несколько мелких массивов относится к кембрийскому комплексу. Возрастное положение основной массы интрузивных пород района достаточно определено как по обычным полевым наблюдениям их контактов с прорываемыми и перекрывающими толщами, так и благодаря определению абсолютного возраста пород.

### НИЖНЕ-СРЕДНЕКЕМБРИЙСКИЙ (АКТОВРАКСКИЙ) ИНТРУЗИВНЫЙ КОМПЛЕКС (σ<sub>Ст1-2</sub>)

Интрузия актовракского комплекса представлена тремя небольшими массивами. Один из них наблюдался в восточной части района в верховых р. Бобуш-Ой среди гнейсов чинильской серии, два другие располагаются на водоразделе руч. Баян-Коля и р. Бельбяя среди кварцитов кускунугской толщи. Массивы представлены линзообразными пластовыми телами, несколько вытянутыми по простиранию вмещающих пород. Выход на поверхность наиболее крупного тела не превышает 0,4 на 1,0 км.

Все массивы слагаются ультраосновными породами — дунитами и серпентинизированными дунитами.

Массив, расположенный в верховых р. Бобуш-Ой, сложен светло-зеленоватыми катаклизованными дунитами. Породы

состоят из зерен оливина, имеющих волнистое угасание, сталькованных и нескольких актинолитизированных. В незначительном количестве присутствует ромбический пироксен. Структура напоминает цементную.

Восточный массив из двух, расположенных на водоразделе руч. Баян-Коля и р. Бельбяя, сложен желтовато-зеленоватыми карбонатизированными и несколько амфиболизированными дунитами. Отдельные небольшие участки в породе состоят из антигорита. Структура панидиоморфновернистая, причем кристаллы оливина местами имеют вытянутую форму. В соседнем — западном массиве встречены темно-зеленые мелкозернистые слабо серпентинизированные дуниты, трещиноватые сильно дробленые. В отдельных участках наблюдаются скопления микролиторита, по которому развивается тальк. Породы содержат тонкие прожилки хризотил-асбеста.

Эндо- и экзоконтактовые изменения гипербазитовой интрузии не отмечались. Судя по наблюдениям в смежных районах можно думать, что эти изменения практически отсутствуют.

Возраст ультраосновной интрузии определяется как кембрийский, в силу того что гипербазиты в Туве локально связаны с отложениями нижнего и, возможно, среднего кембрия и перекрываются ордовиком. В. А. Кузнецов, Г. В. Пинус и другие исследователи принимают более узкий возрастной интервал для актовракского комплекса и считают, что он не выходит за пределы нижнего—среднего кембрия [9].

### НИЖНЕКАМЕЗОЙСКИЙ (ТАННУЛЬСКИЙ) ИНТРУЗИВНЫЙ КОМПЛЕКС

Интрузивные породы, отнесенные к таннульскому комплексу, принадлежат двум самостоятельным фазам. В первой фазе выделяются три группы пород.

#### *Интрузии первой фазы*

Дисриты, габбро-диориты, габбро ( $\delta-\nu Pz_1$ ). Породы этой группы широко развиты в северо-западной и юго-западной частях района. На юго-западе они являются частью Восточно-Таннульского массива, в пределах которого впервые был выделен таннульский комплекс [9]. Повсеместно интрузивные массивы вмешают ксенолиты нижнекембрийских отложений.

Среди описываемой группы наблюдаются диориты, габбро-диориты, габбро, а местами и пироксениты.

На юго-западе породы этой группы развиты по обоим склонам хр. Восточный Танну-Ола. На юго-западном склоне распространены мелко- и среднезернистые дисриты и габбро-диориты, среди которых лишь изредка наблюдаются небольшие

выходы гнейсовых гранодиоритов и кварцевых диоритов. Характерен сильный катаклаз пород. На северо-восточном склоне хребта наблюдается более разнообразный комплекс пород от крупнозернистых меланократовых порфировидных габбро до диоритов. Более основные разности встречаются в осевой части хребта, более кислые — у контакта с гранодиоритами. На северо-восточном склоне диориты, особенно, габбро имеют грубополосчатые текстуры, ориентированные, как и на юго-западном склоне, в северо-западном направлении.

На северо-западе преобладают разновидности диоритов и габбро-диориты. Массив этих пород содержит многочисленные ксенолиты кембрийских отложений, часть которых из-за малых размеров не показана на геологической карте. К северо-востоку от г. Соя-Нур средне- и крупнозернистые диориты постепенно по мере обогащения темноцветными минералами (в том числе пироксеном) и уменьшения относительного количества полевых шпатов переходят в оливиновые габбро. Появление оливиновых габбро иногда приурочено к ксенолитам кембрийских отложений. Некоторые разности габбро характеризуются повышенным содержанием магнетита и вызывают магнитные аномалии.

Диориты и габбро-диориты представляют собой мелко- и среднезернистые зеленовато-серые породы. Структура их гипидиоморфнозернистая. Состоят они из плагиоклаза, роговой обманки, пироксена (диопсид или авгит), биотита. Основным пордообразующим минералом является плагиоклаз (андезин от № 32—34 до № 45—47), составляющий от 30 до 70%. Редко и в небольших количествах присутствует кварц и микроклин.

Габбро имеют темно-зеленые окраски, гипидиоморфнозернистую структуру. В составе их темноцветные минералы достигают 45—60%, плагиоклаз представлен лабрадором, в некоторых разностях появляется оливин.

Среди пород описываемой группы широко распространены мильтитовые и катаклазитовые разности. Им свойственны зеленоватые окраски, вследствие сильно развитых процессов хлоритизации и эпидотизации или грязно-розоватые — вследствие пелитизации и окисления полевых шпатов.

Диориты и габбро, несомненно, являются гибридными контаминированными породами, на что указывают пойкилитовые структуры, неоднородность состава, частое присутствие биотита и роговой обманки совместно с основным плагиоклазом и т. п.

**Порфириовидные кварцевые диориты** (до Рз.) занимают промежуточное положение между породами более кислого состава (см. ниже) и охарактеризованной выше группой пород среднего и основного состава.

На северо-западе преобладают разновидности диоритов и габбро-диориты. Массив этих пород содержит многочисленные ксенолиты кембрийских отложений, часть которых из-за малых размеров не показана на геологической карте. К северо-востоку от г. Соя-Нур средне- и крупнозернистые диориты постепенно по мере обогащения темноцветными минералами (в том числе пироксеном) и уменьшения относительного количества полевых шпатов переходят в оливиновые габбро. Появление оливиновых габбро иногда приурочено к ксенолитам кембрийских отложений. Некоторые разности габбро характеризуются повышенным содержанием магнетита и вызывают магнитные аномалии.

Диориты и габбро-диориты представляют собой мелко- и среднезернистые зеленовато-серые породы. Структура их гипидиоморфнозернистая. Состоят они из плагиоклаза, роговой обманки, пироксена (диопсид или авгит), биотита. Основным пордообразующим минералом является плагиоклаз (андезин от № 32—34 до № 45—47), составляющий от 30 до 70%. Редко и в небольших количествах присутствует кварц и микроклин.

Габбро имеют темно-зеленые окраски, гипидиоморфнозернистую структуру. В составе их темноцветные минералы достигают 45—60%, плагиоклаз представлен лабрадором, в некоторых разностях появляется оливин.

Среди пород описываемой группы широко распространены мильтитовые и катаклазитовые разности. Им свойственны зеленоватые окраски, вследствие сильно развитых процессов хлоритизации и эпидотизации или грязно-розоватые — вследствие пелитизации и окисления полевых шpatов.

Диориты и габбро, несомненно, являются гибридными контаминированными породами, на что указывают пойкилитовые структуры, неоднородность состава, частое присутствие биотита и роговой обманки совместно с основным плагиоклазом и т. п.

**Порфириовидные кварцевые диориты** (до Рз.) занимают промежуточное положение между породами более кислого состава (см. ниже) и охарактеризованной выше группой пород среднего и основного состава.

Порфириовидные кварцевые диориты распространены в северной половине района в низовых руч. Алуг-Ажики, по левобережью р. Соя, у с. Петровское и на правобережье р. Шурмака в среднем течении. Они представляют собой серые, светло-зеленовато-серые и розовато-желтые породы, обычно несколько катаклизированные и значительно измененные. Характерны для них порфирированные выделения крупных, округлой формы кристаллов кварца и преобладание роговой обманки над биотитом. Порфириовидные кварцевые диориты состоят из плагиоклаза (40—60%), кварца (15—35%), биотита и роговой обманки. Все минералы сильно изменены. Плагиоклаз (андезин № 30—35) серпентинизирован и соссюритизирован, биотит хлоритизирован, роговая обманка эпидотизирована и актинолитизирована.

**Гранодиориты, кварцевые диориты, плагиограниты** (до Рз.). Породы этой группы распространены главным образом на юге. По северо-восточному склону хр. Восточный Танну-Ола разбиты серые, иногда несколько пнейсовых, средне- и крупнозернистые биотито-роговообманковые гранодиориты и лейкогранитовые кварцевые диориты. На юго-западном склоне породы этой группы встречаются более редко.

На северо-западе (западная оконечность хр. Сыргальгай-Тайга) отмечены розовато-серые и желтоватые гранодиориты — биотитовые, биотит-роговообманковые, иногда лейкогранитовые, дресвианистые. На юго-востоке в среднем течении р. Бурена наблюдаются средне- и крупнозернистые биотит-роговообманковые плагиограниты, гранодиориты и реже кварцевые диориты. При петрографическом изучении шлифов установлено, что для всех пород описываемой группы характерно малое количество калиевого полевого шпата. Породы с содержанием калиевого полевого шпата более чем 10—15% довольно редки. Гранодиориты и кварцевые диориты представляют собой серые и светло-серые среднезернистые (1—4 мм) реже крупнозернистые (более 5 мм), обычно дресвианистые породы с матрациевидной отдельностью. Часто встречаются разности с намечающимися или четко выраженным ориентированным расположением биотита. Структура пород гипидиоморфнозернистая, состоит они из плагиоклаза (андезин № 30—35) 45—70%, кварца 10—30%, калиевого полевого шпата от 3—5 до 15—25% и темноцветных минералов 5—25% (биотит и роговая обманка). Из акцессорных минералов характерен сферен. В породах, отнесенных к плагиогранитам, содержится плагиоклаз более кислого состава (олигоклаз № 25—28).

Соотношения между тремя описанными группами пород интрузии первой фазы представляются в следующем виде. Породы среднего и основного состава являются, как уже отмечалось, гибридными, контаминированными. С породами группы гранодиоритов они связаны как постепенными переходами, так и рывущими контактами (гранодиориты прорывают

породы среднего и основного состава). Рвущие контакты более характерны для северо-западной части района. Наблюдались они также и на юго-западном склоне хр. Восточный Танну-Ола.

Гибридные породы группы среднего и основного состава кристаллизовались несколько ранее, нежели кислые разности, что в одних условиях внедрения обуславливало рвущие контакты, а в других — сохранение постепенного перехода. Планкальным частям интрузии, имеющей в общем пологую кровлю.

Породы промежуточной группы (порфировидные кварцевые диориты) в районе руч. Алуг-Ажика постепенно переходят в селевые гранодиориты и плагиограниты. Тесная связь трех описанных групп пород друг с другом и принадлежность их к одной и той же интрузии подтверждается общностью минералогического состава, а также закономерным изменением химизма от более кислых пород к более основным (см. табл. 1)<sup>1</sup>.

**Эндоконтактовые изменения интрузий первой фазы** весьма значительны. На северо-западе района замечено, что у контакта с кембрийскими эфузивами и известняками

диориты переходят в габбро, а местами и в пироксениты.

В осевой части хребта Восточный Танну-Ола у контакта с нижнекембрийскими отложениями появляются средне- и мелкозернистые ясно полосчатые гнейсовидные габбро с вкрапленностью лирита и пиротина. Габброидные полосчатые гнейсоподобные породы часто наблюдаются и на склонах упомянутого хребта, около ксенолитов кембрийских отложений.

**Эзоконтактовые изменения выражены чрезвычайно резко.** Они сказываются в образовании скарнов и роговиков, преимущественно по отложению кускунгутской толщи нижнего кембрия. В более древних как и в более молодых (нижнекембрийских же) породах эзоконтактовые изменения выражены слабо, а местами практически отсутствуют. Наиболее интенсивные изменения претерпели нижнекембрийские отложения северо-западной части района и осевой части хр. Восточный Танну-Ола. Эти отложения практически повсеместно ороговикованы, карбонатные же породы превращены в скарны — гранатовые, эпилитовые, пироксеновые и др. Контактовый метаморфизм наиболее сильно проявляется в тех участках, которые характеризуются полотым контактом интрузии. Замечено также, что более значительные эзоконтактовые изменения вызывают породы среднего и основного состава.

**Жильные породы**, связанные с интрузией первой фазы таннуольского комплекса, довольно разнообразны и широко распро-

странены. Очень часто они встречаются в бассейне руч. Алуг-Ажика, где вмешиваются породами среднего и основного состава таннуольского комплекса и кембрийскими отложениями.

Здесь отмечены жилы диоритов, диорит-порфириотов,

габбро-диоритов. Из жильных пород среднего состава наиболее распространены диорит-порфириты, содержащие светлоокрашенные

вкрапленники плагиоклаза, которые выделяются на фоне мелкозернистой зелено-

черной массы. Жилы среднего и основного состава обычно секутся жилами албитов.

Некоторые жилы мелкозернистых гранитов и

гранит-албитов при незначительной мощности (5—10 м) прослеживаются на расстояние до 1,5—2 км и дифферируются на аэрофотоснимках.

В хр. Восточный Танну-Ола помимо разнообразных жил среднего и основного состава встречаются кварцево-полевошпатовые жилы с гранатом, мусковитом и турмалином и пегматоидные жилы, состоящие из кристаллов розового полевого шпата и молочно-белого кварца, величиной до 4—6 см.

С интрузией первой фазы таннуольского комплекса связаны многочисленные проявления меди и железа в скарнах. К ним же, по А. Г. Божинскому [4, 8], приурочено золотое орудение.

Таблица 1

Шифр	Название пород	Место взятия	Название интрузивного комплекса и индекс	№ использованных материалов по списку литературы	Химические компоненты в вес. %								Н. обн.
					SiO <sub>2</sub>	TiO <sub>2</sub>	Al <sub>2</sub> O <sub>3</sub>	Fe <sub>2</sub> O <sub>3</sub>	MgO	CaO	Na <sub>2</sub> O	K <sub>2</sub> O	H <sub>2</sub> O
1	Лейкократовый кварцевый диорит	Северо-восточный склон хр. Восточный Танну-Ола	γδ Pz <sub>1</sub>	20 ф	67,36	0,30	18,36	4,35	0,72	4,39	2,91	2,52	0,04
2	Порфировидный измененный кварцевый диорит	Район пос. Петропавловка	δδ Pz <sub>1</sub>	23 ф	54,17	0,35	14,51	8,47	8,25	7,25	3,21	3,01	0,29
3	Диорит	г. Саргалыг-Тайга	δ-γ Pz <sub>1</sub>	20 ф	52,01	0,48	12,48	11,58	10,05	9,98	2,07	0,45	0,18
4	Габбро	То же	γ-γ Pz <sub>1</sub>	20 ф	45,33	0,27	11,23	9,09	14,71	15,61	2,55	0,89	0,06

<sup>1</sup> Химические анализы, приведенные в объяснительной записке (таблицы № 1, 2 п. п. 3, 4), выполнены в 1952 г. в лаборатории ЗСГУ (начальник лаборатории В. Н. Чуфаровский). Анализы, приведенные в табл. 2 (п. п. 1, 2), выполнены в той же лаборатории в 1958 г.

## Интузия второй фазы

### ДЕВОНСКИЙ (БРЕНЬСКИЙ) ИНТРУЗИВНЫЙ КОМПЛЕКС

Граниты ( $\gamma$  Рz). Породы второй фазы развиты незначительно. Они наблюдалась на крайнем юге, в бассейне р. Халын, а также на западе, на левобережье р. Мажалка. Массив бассейна р. Халын приурочен к зоне разрывных нарушений, ограниченных с севера нагорье Сангилен, и располагается в основном за пределами района. Интузия второй фазы слагается розовыми крупно- и среднезернистыми биотитовыми, иногда лейкократовыми гранитами.

Основные породообразующие минералы присутствуют в гранитах в следующих количествах: микроклин 40–50%, плагиоклаз (альбит-олигоклаз № 6–10, реже олигоклаз до № 22) – 20–30%, кварц 25–30%, биотит 1–5%. С интузией второй фазы связаны жилы диабазов, диабазовых порфиритов, розовых мелкозернистых микроклиновых гранитов, а также кварцевые жилы.

Судя по данным смежной с юга территории (лист М-46-XVIII), к интузиям второй фазы приурочены мелкие проявления редкоземельного оруденения.

Соотношения интрузий второй и первой фазы на площади листа М-46-XII не наблюдались. В нескольких километрах южнее, в истоках р. Улара, граниты второй фазы рвут породы среднего и основного состава первой фазы, а в бассейне р. Тарлашкин-Хем розовые граниты, относящиеся ко второй фазе, прорывают гранодиориты и кварцевые диориты первой фазы таннуольского комплекса [7].

Интрузии первой и второй фаз не разделены во времени отложениями какой-либо толщи; время формирования их достаточно близко.

Интузии таннуольского комплекса на описываемой территории прорывают нижнекембрийские отложения, а несколько южнее и севернее перекрываются силурскими (унилокский ярус). Абсолютный возраст серого биотитового крупнозернистого гранодиорита на левом берегу р. Шурмака, в среднем течении, у подножья хр. Восточный Танну-Ола, определенный в лаборатории ВСЕГЕИ Н. И. Полевой по аргоновому методу, равен 435 млн. лет (устное сообщение В. Е. Кудрявцева). В более западных частях хр. Восточный Танну-Ола абсолютный возраст различных пород таннуольского комплекса (диоритов, гранодиоритов и гранитов) по данным нескольких анализов оказался равным 445 млн. лет [6]. На площади смежного с юга листа М-46-VIII [7] граниты Тес-Хемского массива, сходные с гранитами второй фазы, имеют абсолютный возраст 430–435 млн. лет.

Приведенные данные позволяют относить описанные интузии таннуольского комплекса к нижнепалеозойским, точнее к доэрловичским.

На площади листа М-46-XII находится известный в литературе Бреньский гранитный массив [4]. Этот массив вытянут в субмеридиональном направлении от руч. Абстрата (левый приток р. Халын) на юге до низовьев р. Бурена на севере. С юга Бреньский гранитный массив по зоне крупных разрывных нарушений граничит с нижнепалеозойскими интузиями. На севере, за пределами района, постепенно сужаясь, массив замыкается, располагаясь здесь также среди нижнепалеозойских гранитоидов; на востоке породы массива контактируют с докембрийскими отложениями. Городы Бреньского массива прорывают докембрийские, нижнекембрийские, нижнедевонские отложения и с размытым перекрываются верхнедевонскими.

Прорывание нижнедевонских эфузивов интузий бреньского комплекса наблюдалось В. В. Архангельской, а затем Г. В. Пинусом, Я. Д. Шенкманом и др. на левом берегу р. Мизина у устья [16ф, 26ф]. По В. В. Архангельской [16ф] интузия в краевой части представлена здесь кварцевыми порфиритами, прорывающими эфузивы. Последние насыщены также жилами кварцевых порфиров, литогенетически весьма сходных с кислыми эфузивами сайлыгской толщи [26ф]. Я. Д. Шенкман на левом берегу р. Мизина наблюдал крупный останец кровли интузии, сложенный нижнедевонскими плагиопорфиритами, пронизанный многочисленными апофизами гранитов. По наблюдениям на правом берегу р. Мал. Енисея Я. Д. Шенкман указывает на кругой рвущий контакт, осложненный небольшими позднейшими подвижками [26ф].

Налегание на граниты верхнедевонских песчаников наблюдалось авторами записки у западной рамки листа, на горе Мажалык [15ф]. В контакте интузия представлена землистыми, дресвянинистыми сильно измененными породами.

Для Бреньского гранитного массива характерно исключительное однообразие слагающих его пород на больших площадях, близость по составу отдельных фациальных разновидностей и весьма слабое развитие жильных образований.

На геологической карте среди пород Бреньского массива выделены две основные фациальные разновидности: с одной стороны граниты, с другой — гранит-порфиры и кварцевые порфиры.

Граниты ( $\gamma$  D) пользуются исклочительным развитием в восточной части массива по долине р. Бурена, ее левым притокам, Иргышу, Маоку, по мелким правым притокам, а также в верховьях р. Бельбяя. Для гранитов Бреньского массива характерны матрацевидная и подушечная отдельность. Граниты — розовые или оранжево-розовые, реже мясо-красные порфировидные крупно- и среднезернистые дресвянинистые, биотитовые, часто встречаются аляскиевые и лейкократовые.

разности. Полевые шпаты имеют розоватую или светло-серую окраску, кварц обычно темно-серый. Местами, например, на правом берегу р. Бурен, против устья р. Халына встречаются серые крупно- и среднезернистые биотитовые и биотито-рогово-обманковые граниты. В составе массива изредка наблюдаются гранодиориты и сиениты. Несколько более разнообразны породы, слагающие северо-западную часть массива. В горах Сыргалыг-Тайга наблюдаются кирпично-красные мелко- и среднезернистые лейкократовые граниты. В районе к востоку от г. Тавалген встречаены розовато-серые роговообманковые граниты и гранодиориты в тесной связи с розовыми и красноватыми. На крайнем юге в бассейне р. Сербик помимо гранитов встречаются желтовато-розовые сиенито-биотитовые, крупно-зернистые.

Граниты Бреньского массива имеют гипидроморфно-зернистую, иногда порфировидную структуру. Состоят они из калиевого полевого шпата (30—40%), плагиоклаза (25—35%) и кварца (20—40%). Темноцветные минералы присутствуют в небольшом количестве, не превышая в большинстве случаев 1—5%, в очень редких случаях количество их увеличивается до 10—15%. Представлены они, как правило, биотитом, изредка встречается роговая обманка. Из акцессорных минералов характерны апатит, магнетит, монацит, реже флюорит и др.

Калиевый полевой шпат в большинстве случаев сильно пелитизирован и ожелезнен, он образует пегматоидные сростки с кварцем и часто наблюдается в виде каемок вокруг таблитчатых кристаллов плагиоклаза. Калиевый полевой шпат нерешетчатый, обычно содержит перититовые вrostки, редко наблюдается решетчатый микроклин.

Плагиоклаз по составу относится к олигоклазу № 25—28, реже к олигоклаз—андезину № 28—32, часто замещается альбитом, обычно также серицитизирован.

Биотит в большинстве случаев значительно хлоритизирован.

К гранитам по составу тесно примыкают изредка встречающиеся гранодиориты и сиениты. В гранодиоритах калиевый полевой шпат количественно уступает плагиоклазу, в сиенитах содержание кварца ладает до 5—7%, плагиоклаз представлен альбитом.

**Гранит-порфиры и кварцевые порфирсы (γπ D)** развиты преимущественно в западной части Бреньского массива, где они наблюдаются обычно на водоразделах, в то время как в эрозионных срезах долин обнаруживаются граниты. В описываемой группе пород преобладают розовые, розовато-оранжевые и красноватые гранит-порфиры и кварцевые порфирсы. Характерной разновидностью являются гранит-порфиры с крупными (часто до 12—15 мм) кристаллами кварца, округлой и овальной формы, запоминающими гальки.

**Гранит-порфиры по минералогическому составу аналогичны гранитам оливиновой выше группы. Они представляют собой порфировые породы с микролепидитовой основной массой, сложенной главным образом кварцем и калиевым полевым шпатом. Последний встречается обычно лишь в основной массе. Породы содержат биотит и очень редко роговую обманку.**

**Кварцевые порфиры** аналогичны по минералогическому составу гранит-порфирам. Вкрапленники имеют размер от 0,5 до 3 мм, а иногда до 8—12 мм, представлены кварцем, реже калиевым полевым шпатом и темноцветными минералами. Мелкозернистая основная масса состоит из тех же минералов и имеет микропорфитовую или микроплитовую структуру.

Кварц во вкрапленниках обычно заметно корродирован основной массой, плагиоклаз (олигоклаз № 12—15) серицитизирован, калиевый полевой шпат всегда сильно пелитизирован.

**Гранит-порфиры и кварцевые порфирсы** тесно связаны с гранитами. Переходы между ними совершиенно постепенные. Те и другие относятся безусловно к одному и тому же интрузивному комплексу. Об этом свидетельствуют близость минералогического состава и тождество химического состава пород (см. табл. 2).

Таблица 2

Название пород	Место взятия	Название интрузивного комплекса и индекс	# используемого материала по сплавке и температуре	Химические компоненты в вес. %						S	P	П.п.п.		
				SiO <sub>2</sub>	TiO <sub>2</sub>	Al <sub>2</sub> O <sub>3</sub>	Fe <sub>2</sub> O <sub>3</sub>	FeO	MgO	CaO	Na <sub>2</sub> O	K <sub>2</sub> O	H <sub>2</sub> O	
1	Биотитовый гранит	р. Бурен и устья р. Биштук	γ D	23	72,72	0,17	13,15	2,74	0,23	0,96	4,82	3,78	0,19	0,02
2	То же	р. Бурен уз. Шагларик	γ D (илюзия) γ <sup>π</sup> D	23	72,94	0,19	12,59	2,50	0,45	1,54	4,22	3,85	0,34	0,023
3	То же	р. Ишкендер	γ D	20	71,61	0,35	14,22	3,76	0,40	1,32	4,31	3,75	0,16	0,36
4	Гранит-порфир	р. Чого-Су	γ D (илюзия) γ <sup>π</sup> D	20	71,38	0,31	15,15	3,36	0,40	2,16	4,11	3,71	0,12	0,30

Эндоконтактовые изменения интрузии, как явствует из вышеизложенного, сводятся к появлению гранит-порфиров и кварцевых порфиров, слагающих апикальную часть массива. Принадлежность этих пород к краевым частям интрузии подтверждается наличием порфировых структур и приуроченностью их к повышенным (приводораздельным) пространствам. Кварцевые порфиры краевых частей интрузии макроскопически весьма сходны с кислыми эфузивами сайлыской толщи. Те и другие встречаются совместно. Граница между ними весьма условна. Интрузивные кварцевые порфиры характеризуются своеобразными равномернозернистыми структурами (микроплитовая, реже микролегматоидная и сфералитовая), которые наблюдаются в породах эфузивной толщи.

Эзоконтактовые изменения, как правило, отсутствуют. В целом ряде мест наблюдались контакты девонской интрузии с кембрийскими и докембрийскими карбонатами и различными терригенными породами. Так, по хорошо обнаженному правому берегу р. Бурена, ниже устья р. Биштука среди розовых гранитов имеется небольшой жесенолит мелкозернистых амфиболитовых сланцев чинчимской серии, совершенно лишенных признаков контактного воздействия со стороны окружающих гранитов.

**Жильные породы**, связанные с девонскими интрузиями, встречаются весьма редко. Среди них отмечаются жилы среднего и кислого состава. Первые представлены серыми кварцевыми диоритами с идиоморфными шестоватыми кристаллами роговой обманки. Ко вторым относятся гранит-аплиты и аплиты. Жилы гранит-аплитов, по В. В. Архангельской [16], широко развиты в осевой части хр. Казыбы (центральная часть района).

В противоположность нижнепалеозойским интрузиям девонского комплекса характеризуются следующими признаками:

- 1) более постоянным и однообразным составом пород и преобладанием гранитов;
- 2) резко выраженным типобиосальным характером зональной части пород интрузии;
- 3) слабыми экзоконтактовыми изменениями, либо отсутствием их;
- 4) почти полным отсутствием явлений контаминации и гибридизма и
- 5) сравнительно слабым развитием жильной серии.

В гранитах бреньского комплекса, судя по протолочкам, почти повсеместно присутствуют следующие аксессорные минералы: монацит, торит, орнит, оранжит, галенит, шеелит, циркон и в большом количестве магнетит. Характерно, что эти минералы встречаются как в розовых, так и в серых гранитах.

Описанная интрузия претерпевает нижнелевонские эфузивы и покрывается верхнедевонскими красноцветами. Первые имеют абсолютный возраст 310 млн. лет (см. выше). Абсолютный воз-

раст гранитов западной части Бренского массива по аргоновому методу составляет 280 млн. лет (образец В. Е. Кудрявцева для района пос. Владимиировка, определения Н. И. Полякова). Таким образом, интрузии бреньского комплекса являются, по-видимому, среднедевонскими [5].

Несмотря на приведенные цифры, возраст Бренского массива не может считаться строго доказанным. Возможно, этот массив является более древним, так как, во-первых, на юге, в Сангилене, имеются граниты петрографически аналогичные описанным, но датирующиеся по данным геологического картирования и определению абсолютного возраста как нижнепалеозойские [7] и, во-вторых, абсолютный возраст гранитов центральной части, Бренского массива согласно новым данным [23] составляет 334 и 370 млн. лет (определения аргоновым методом двух образцов гранитов среднего течения р. Бурена в лаборатории ВАГТа под руководством В. М. Комаровой).

## ТЕКТОНИКА

В строении площади листа М-46-ХII намечается два структурных комплекса и соответственно с этим две группы структур. Нижний структурный комплекс (нижний этаж) образован докембрийскими и нижнекембрийскими отложениями, верхний — нижне- и верхнедевонскими. Около 60—70% площади района занимают массивы интрузивных пород. Массивы кембрийской и нижнепалеозойской интрузии принаследуют к нижнему комплексу, массив девонской интрузии тяготеет к верхнему комплексу.

Описываемый район является частью древнекаледонской (кембрийской) складчатой области. На площади его, как и в смежных районах, имели место интенсивные глыбовые движения альтийского возраста. Благодаря этим движением в современной структуре района наблюдается чередование поднятых и опущенных участков. Первые, как правило, сложены образованиями нижнего структурного яруса, вторые — выполнены отложениями верхнего яруса. Области четвертичной и современной аккумуляции приурочены к участкам развития пород верхнего структурного яруса (см. рис. 1).

Основными структурными элементами района являются следующие: 1) Бобушайская синклиналь; 2) юго-восточная часть Восточно-Таннуольского горст-антеклиниория; 3) Балгазинская мульда; 4) Бельгейский грабен; 5) Шамбалынский гранитоидный массив; 6) Бренский гранитный массив.

**Бобушайская синклиналь** расположена в юго-восточной части района. Она является линейной структурой. При общей субмеридиональной вытянутости шарнир ее в плане имеет дугобразную форму, выпуклую к западу. Ядро синклиналии выполнено мраморами балыктыгемской свиты, широко развитыми на

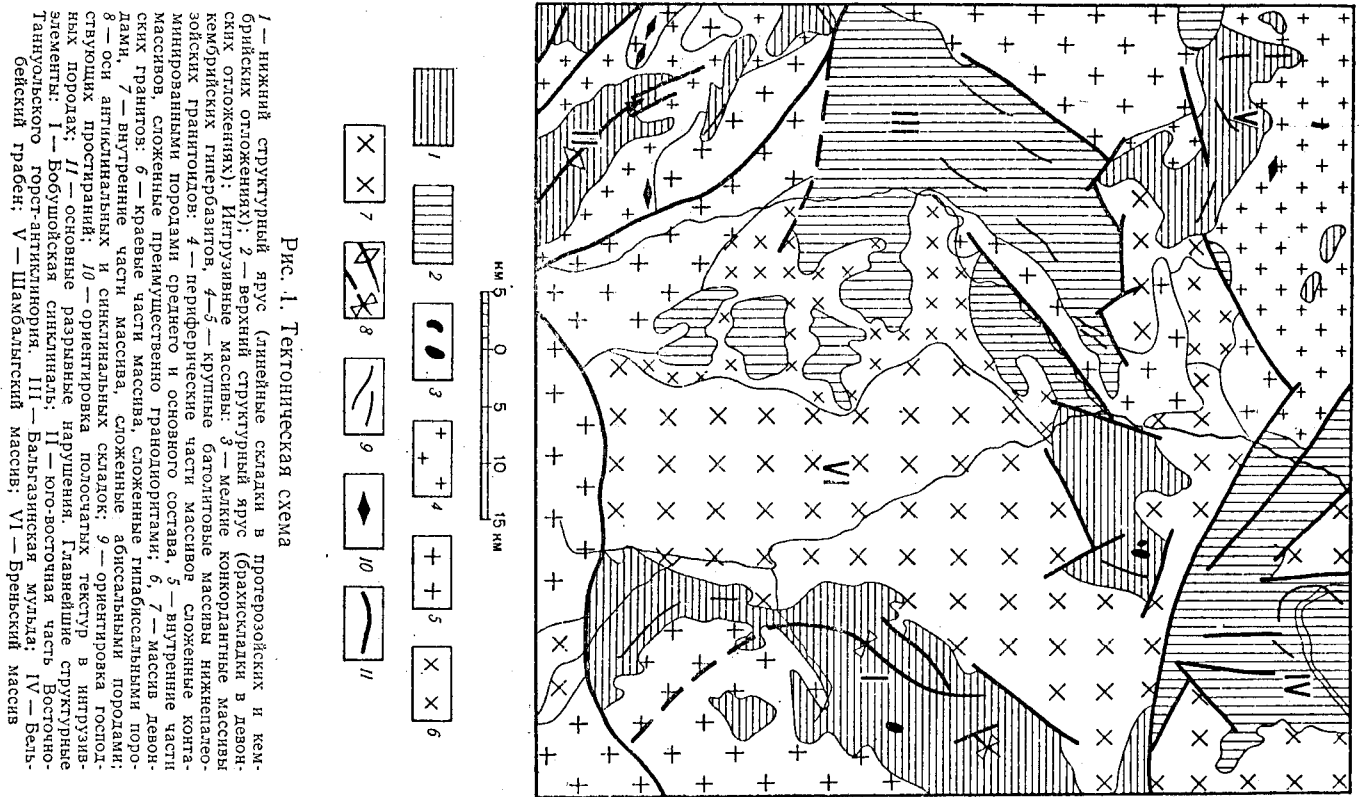


Рис. 1. Тектоническая схема

1 — нижний структурный ярус (линейные складки в протерозойских и кембрийских отложениях); 2 — верхний структурный ярус (брекчии складки в девонских отложениях); 3 — мелкие конкордантные массивы кембрийских гиперзитов; 4—5 — крупные багольитовые массивы нижнепалеозойских гранитоидов; 4 — периферийные и основные части массивов сложены средними и основными породами; 5 — внутренние части массивов, сложены преимущественно гранитоидами; 6 — краевые части массивов, сложены гипабиссальными породами; 7 — внутренние части массивов, сложены гипабиссальными породами; 8 — оси антиклинальных и синклинальных складок; 9 — ориентировка гостя-ствующих простираний; 10 — ориентировка постоставки текстур в читуизи-ных породах; 11 — основные разрывные нарушения. Главнейшие структурные линии: I — Бобушская синклиналь; II — юго-восточная часть Восточно-Танну-Олы; III — Балызинская Мулда; IV — Бель-Таннульского горст-антклиниория; V — Шамбалинский массив; VI — Бренский массив

севере, на правобережье р. Бобуш-Ой. На юге, на левобережье этой реки оно «просвещивает» по отдельным ксенолитам мраморов среди нижнепалеозойской интрузии. Крылья складки сложены метаморфическими сланцами и гнейсами чинчиликской серии. В ядре синклиналии мраморы имеют простижение близкое к меридиональному и крутие падения в обе стороны. По западному крылу синклиналии на юге, в бассейне р. Сербика, слой чинчиликской серии, имея выдержанное северо-западные простирияния, падают на балыктыгхемскую свиту. Углы падения крутые, не менее 60—70°. Севернее, западное крыло оборвано разрывом. Восточное крыло осложнено синклинальной складкой со срезанным разрывом западным замыканием.

Из структур более высокого порядка, осложняющих синклиналь, выделяются небольшие складки сундучного типа с крутыми крыльями и плоским (до горизонтального) сводом, фиксирующимся горизонтальными залеганиями.

На востоке Бобушская синклиналь сопряжена с Сизимской антиклиналью, ядро которой расположено вне прошлага клиналь, выделяется небольшие складки сундучного типа с крутыми крыльями и плоским (до горизонтального) сводом, фиксирующимся горизонтальными залеганиями [7].

На север и юг от устья р. Бобуш-Ой синклиналь залегает, и в области обоих центриклинальных замыканий обременяется разрывными нарушениями. Сброс, ограничивающий опи-сываемую структуру с юга, имеет простирияне, близкое к широтному, и принадлежит к зоне (системе) разломов, отделяющих с севера Сантиленский массив. Этот сброс, по-видимому, относится к наиболее древним разрывным нарушениям. В то же время он очень резко выражен в современном рельфе, в виде кругого уступа, обращенного к северу, высота которого достигает нескольких сот метров. Местами сброс сопровождается появлением брекций; в бассейне крупного правого притока р. Хадына, у южной границы района, В. В. Архангельская опи-сывает полосу милюнитов, мощностью до 100—150 м [16]. Характерна приуроченность к разрыву жил и небольших тел различных интрузивных пород среднего и основного состава. Положение крыла сложено интрузивными породами, преимущественно нижнепалеозойскими. Эти же породы в юго-восточной части района широко развиты и в опущенном крыле, выполняя на юге ядро Бобушской синклиналии.

### Юго-восточная часть Восточно-Таннуульского горст-антклиниория.

Восточно-Таннуульский антиклиниорий представляет собой крупную древнюю структуру, протягивающуюся на северо-запад далеко за пределы территории листа. Антиклиниорий погружается на юго-восток и выражен в современном рельфе кругосклонным горстом хр. Восточный Танну-Ола.

В осевой части структуры, занимающей гользовую зону хр. Восточный Танну-Ола, выходят нижние горизонты кембрийского разреза. На юго-западном крыле обнажены более высо-

кие горизонты кембрия, а за пределами района они сменяются силурийскими и девонскими отложениями. Северо-восточное крыло в пределах района выражено менее полно. Оба крыла осложнены разрывами сбросового типа.

Кембрийские отложения кускунгутской толщи ядра антиклинария залегают в виде ксенолитов среди нижнепалеозойской гранитоидной интрузии. Они занимают наиболее высокое гипсометрическое положение. Массив нижнепалеозойской интрузии (Восточно-Таннуольский), в значительной мере слагающий Восточно-Таннуольский горст-антиклиниорий, имеет четко выраженное зональное строение и вытянут согласно общему простиранию антиклинария. Контакт интрузивных пород с кембрийскими отложениями, по-видимому, довольно пологий. По северо-восточному крылу «провесы» кровли интрузии фиксируются выходами пород среднего и основного состава и небольшими ксенолитами кембрийских отложений. Наоборот, выходы грандиоритов отвечают более глубоким частям интрузии.

Общность структурного плана массива нижнепалеозойской интрузии со складчатыми структурами кембрийских отложений выражается в общей согласной вытянутости их, в ориентировке мелких ксенолитов, зон рассланцевания, полосчатых текстур в интрузивных породах и т. д.

В пределах ядра антиклинария выделяются структуры более высокого порядка. Они имеют линейный характер и обычно запрокинуты к юго-западу. Углы падения достигают 70—90°. В обнажениях часто наблюдаются складки еще более высоких порядков, вплоть до плойчатости. Все породы интенсивно расчленованы параллельно осевым поверхностям складок (клиновая течения).

Дислокированность эффиузивов таннуольской свиты юго-западного крыла антиклинария характеризуется совершенно иными признаками. Отсутствие слоистости в эффиузивах не позволяет достоверно судить о характере этих дислокаций. Эффиузивам таннуольской свиты, свойственны, по-видимому, симметричные простые складки с пологими углами падения на крыльях (15—25%).

С северо-востока узкий горст Восточного Танну-Ола ограничен крутым сбросом, протягивающимся вдоль подножья жерни шлейфа. Этот разрыв фиксируется зонами дробления, катаклизом пород, обильными и разнообразными жилами в районе с. Марачевка, против устья руч. Баян-Коля, в глубокой седловине западнее г. Байдаг и в других местах. Помимо основного сброса, имеется ряд более мелких нарушений, с ним связанных, к некоторым из них приурочены небольшие интрузии девонских гранитов. Разрывы, видимо, также типа сбросов имеются по юго-западному крылу антиклинария, где они простираются также с северо-запада на юго-восток. Эти разрывы

обуславливают обилие катализированных пород в крайней юго-западной части района.

**Балгазинская мульда** расположена в северо-западной части района. В современном рельфе она выражена обширной пологой вхолмленной котловиной, в которой широко развиты разнообразные четвертичные отложения. Мульда выполнена верхнедевонскими красношвейтами, из-под которых лишь изредка на ее бортах выходят нижнедевонские эффиузивы.

По юго-восточному крылу верхний девон транспрессивно налегает на гранитоиды нижнепалеозойской интрузии, на кембрийские и нижнедевонские отложения. Нижнедевонские отложения смыты в несколько более крутые складки, чем верхнедевонские, хотя план складчатости обоих толщ является общим. Угловое несогласие между ними в районе г. Шарбанай достигает 15—20°, причем азимутальное несогласие колеблется от 0 до 30°. Резкое угловое и азимутальное несогласие разделяет пологолежащие девонские отложения от нижнекембрийских. На юго-западном замыкании мульды верхний девон с размывом залегает на гранитах бреннинского комплекса.

Мульда вытянута в северо-восточном направлении. В осевой ее части, имеющей характер простой пологой синклиналии, верхнедевонские отложения имеют довольно пологое залегание. По борта姆, особенно вблизи разрывных нарушений, углы падения слоев увеличиваются до 40—60°.

С севера, запада и северо-востока мульда оборвана разрывами типа сбросов, выраженных в современном рельфе. Серия субширотных разрывов, смещающихся северо-западными, протягивается вдоль южного подножья гор Сыргалыг-Тайга. На аэрофотоснимках видно, что местами красношвейные песчаники вблизи разломов моноклинально падают к северо-западу, к борту котловины. Западное крыло мульды осложнено крупным сбросом, прослеживающимся от урочища Курик к подножью горы Баян-Хан. В районе последней при аэровизуальном наблюдении установлено «притыкание» к этому разрыву слоев верхнего девона. Северо-восточное замыкание мульды также осложнено разрывными нарушениями. Некоторые разрывы сопровождаются зонами дробления в девонских гранитах и песчаниках балгазинской толщи и жилами диорит-порфиритов.

**Бельбейский грабен** по типу и возрасту отложений, которые его выполняют, аналогичен Балгазинской мульде. Однако морфологически две эти структуры достаточно отличны друг от друга. Одно из отличий состоит в том, что Бельбейский грабен в современном рельфе выражен менее отчетливо. Другое отличие заключается в более сложном внутреннем строении грабена: значительной роли разрывных нарушений, благодаря чему он представляет скорее чередование блоков с различной амплитудой перемещения.

Нижнедевонские эфузивы в Бельбейском грабене залегают в общем, по-видимому, достаточно полого. Они образуют отдельные брахискладки, сильно нарушенные позднейшими разрывами. Углы падения на крыльях этих структур составляют в среднем  $30-35^\circ$ . Верхнедевонские красноцветы имеют еще более слабую дислокированность. По ручью Кошугер на значительном протяжении они залегают почти горизонтально, с очень слабым, едва заметным наклоном к западу. На западном замыкании мульды, на левом берегу р. Бурена, красноцветы полого ( $8-10^\circ$ ) падают к востоку, на южном замыкании отмечены пологие падения к северу. По долине р. Мал. Енисей, в районе поселка Бельбей, в песчаниках верхнего девона наблюдаются фрагменты небольшой брахисинклинали. Углы падения слоев верхнего девона не превышают  $12-25^\circ$ .

Вблизи разрывных нарушений картина резко меняется. Так, в низовьях руч. Кошугер зафиксированы крутое падения, местами слои красноцветов стоят на головах. На левобережье р. Бельбей углы падения слоев песчаников увеличиваются до  $50-60^\circ$ .

В центральной части грабена выделяется несколько крупных блоков, в которых по разрывным нарушениям на поверхность выведены эфузивы сайльтской толщи и даже граниты бреньского комплекса. Резко выражен в рельфе сброс, ограниченный с юга областью развития девонских отложений. Он имеет субширотное направление. Амплитуда его постепенно увеличивается в направлении с запада на восток. На правобережье р. Бурен этот сброс сопровождается зоной бреекций в гранитах, местами достигающей мощности до нескольких десятков метров. Восточнее, в долине р. Бельбей к нему приурочены зоны дробления в песчаниках верхнего девона [23].

**Шамбалыгский гранитоидный массив** является частью более крупного plutona, располагающегося к северу и западу от описываемого района. В строении массива в пределах района главную роль играют контаминированные породы среднего и основного состава. Кровля массива, видимо, достаточно пологая. По наблюдениям Я. Д. Шенкмана и В. А. Благонравова, в районе, непосредственно примыкающем к севера к описываемому, где рельеф более расщленен, контаминированные породы массива лежат на водоразделах [15]. Во врезах долин они сменяются кислыми породами внутренней части интрузии. Аналогичная картина, по-видимому, имеет место и в пределах описываемой части массива.

В кровле массива в бассейнах р. Шамбалыг и руч. Алуг-Джи-ка часто встречаются более или менее крупные ксенолиты нижнекембрийских отложений. Ориентировка складок в этих отложениях, судя по ксенолитам, весьма непостоянна. Складки принадлежат, видимо, к типу линейных, но не имеют выдержанного простирания. На левобережье руч. Алуг-Джи-ка господ-

ствуют северо-западные простирания, в крайней северо-западной части района — меридиональные, а в районе к югу от г. Соя-Нур — широтные и восток-северо-восточные. Местами меридиональные и широтные простирации плавно сопрягаются друг с другом (район горы Соя-Нур), местами они граничат по разрывным нарушениям (район Шамбалыга).

Элементы протектоники пород массива соответствуют структурным элементам вмещающих кембрийских отложений. Разрывные нарушения, по-видимому, достаточно широко развиты в пределах Шамбалыгского гранитоидного массива. Среди них распространены сбросовые нарушения небольшой амplitude, не выражающиеся в рельфе.

**Бреньский гранитный массив** занимает особое место в общей структуре района. Если рассматривать положение его в более крупном плане, то можно заметить, что массив разграничивает области развития докембрийских отложений нагорья Сангилен и бассейна р. Бобуд-Ой от областей преимущественного распространения кембрийских отложений более северных и западных частей Тувы.

Бреньский массив имеет пологую кровлю, постепенно погружающуюся к западу, что находит свое выражение в широком распространении на западе гипабиссальных фаций гранитов.

В отличие от нижнепалеозойских гранитоидов породы Бреньского массива не имеют полосчатых текстур: как абисальные, так и гипабиссальные разности характеризуются массивным сложением. Контакты его с вмещающими докембрийскими и кембрийскими породами резко секущие, причем контактирующие осадочно-метаморфические и интрузивные образования резко отличаются друг от друга по характеру текстур. Первые обычно сильно рассланцованны, в то время как интрузивные породы девонского комплекса всегда массивны и лишены сланцевости. Своеобразие Бреньского массива состоит еще и в том, что он почти не сопровождается жильными проявлениями. Породы массива совершенно пассивны в отношении контактовых взаимодействий с вмещающими породами. Таким образом, Бреньский массив характеризуется совершенно иными признаками сравнительно с танчульскими интрузиями.

В западной части массива в кровле его залегают эфузивы сайльтской толщи. В северо-западной части массива (правый берег р. Бурена, против устья р. Сои) наблюдается крупный ксенолит кембрийских отложений, дислокированных в направлении, близком к меридиональному. В расположеннном несколько южнее ксенолите чинчилигской серии, докембрийские отложения имеют широтное простижение. На площади листа с юга, запада и севера интрузивные породы, слагающие массив, по разрывным нарушениям, граничат с вмещающими породами. Эти разрывы были охарактеризованы при описании смежных структур.

## ОСНОВНЫЕ ЧЕРТЫ ИСТОРИИ ГЕОЛОГИЧЕСКОГО РАЗВИТИЯ

В верхнем протерозое в районе сформировался молчанский комплекс терригенных осадков, которые далее сменились карбонатными. К границе, отделяющей терригенные отложения от карбонатных, проявлено проявление осадков, давших начало железистым кварцитам. В результате складчатости, произшедшей до нижнего кембра, протерозойские отложения были смыты. Проявление этой древнейшей складчатости устанавливается в нагорье Сангилен [7, 22ф]; по-видимому, оно имело место и в описываемом районе.

К этому же времени относится метаморфизм докембрийских отложений. После перерыва осадконакопление продолжалось в нижнем кембре. Началось оно с образования кремнистых осадков, давших начало кварцитам низов кускунгской толщи. В дальнейшем они сменились потоками эфузивов, отложившихся, вероятно, в подводной среде. Далее в условиях более мелкого моря накапливались терригенные, эфузивные и рифогенные карбонатные отложения. По-видимому, весьма близким во времени к этим отложениям явилось образование мелких посloeиных тел недифференцированных гипербазитовых интрузий. Резкое отличие дислокаций в кускунгской и таннуольской толщах нижнего кембра позволяет предполагать складчатость внутри нижнего кембра (до отложения таннуольской толщи). В результате этой складчатости были в основном сформированы складки нижнего структурного комплекса. Эта складчатость, как показывают данные геологического изучения нагорья Сангилен, явилась важнейшей и для докембрийских отложений [22ф]. К нижнему кембрию относится, видимо, заложение разломов южной части района (краевой части Сангиленского массива).

В дальнейшем в нижнем кембре сформировалась мощная однообразная толща эфузивов среднего и кислого состава. Эти породы образовались также в водной среде, но в иных условиях, сравнительно с эфузивами кускунгской толщи — в мелком море, изобиловавшем островами и рифами археодиатовых известняков. В результате складчатости, произшедшей после излияний эфузивов таннуольской толщи, последние были смыты в пологие складки. После этого складчатости произошло внедрение интрузии таннуольского комплекса. Интрузия внедрялась в мощную толщу пород нижнего этажа, смытых до этого в складки. Формирование интрузии в различных по вертикали частях этого этажа происходило в различных условиях. В наиболее глубоких областях, сложенных докембрийскими породами, при пассивном проникновении матмы и застывании ее сформировались интрузивные породы, по составу близкие исходной (гранодиоритовой) магме, без образования гибридных разностей и без следов активного взаимодействия интрузивных и вмещающих пород. Наоборот, широкое развитие контаминации

привело к образованию пород диоритового и габбрового состава в более высоких горизонтах вмещающих пород. В этих условиях при активном и неравномерном движении (течении) матмы гибридные разности интрузии и в меньшей мере породы внутренних ее частей приобрели линейную ориентировку минералов. Следствием более быстрого застывания контаминированной магмы вблизи кровли явилось то, что в некоторых случаях наблюдается прорывание диоритовых и габбровых пород более кислыми разностями.

Последовавшее затем время ознаменовалось длительным поднятием и денудацией.

В нижнем девоне имели место излияния кислых магм, проходившие, по-видимому, в субконтинентальных условиях. Однообразие состава и характера этих эфузивных образований на большой площади свидетельствуют о том, что излияния носили трендинный характер. После формирования этих пород между областью, лежащей к югу от площади листа и захватывающей юго-восток его — областью несколько более ранней консолидации и областью более поздней консолидации, внедрились девонские граниты. Интрузия девонских гранитов обнаруживает полную независимость относительно складок нижнего комплекса и лассивность в отложении взаимодействия с вмещающими породами. В дальнейшем этот массив был вскрыт и эродирован. В верхнем девоне происходило накопление красноцветных терригенных осадков, которые затем были смыты в пологие складки. В более позднее время пологое залегание слоев красноцветов было резко нарушено на бортах котловин благодаря движениям по разрывам. Разрывные нарушения частично проявляются в тесной связи с планом складчатых структур нижнего этажа, частью же они обнаруживают ясную связь со структурами верхнего. К первым — более древним (нижне-палеозойским) относятся разрывы южной части района, разрывы горст-антеклиниория Восточного Танну-Ола и др.; ко вторым (среднепалеозойским) — разрывы, обрамляющие Балгизинскую мульду и Бельбейский грабен и разрывы внутренних частей последнего. Обе структуры не обнаруживают зависимости от складчатых структур нижнего этажа и относятся к типу наложенных.

Характер отложений нижнего и верхнего девона указывает на принадлежность их к формациям межгорных владин. Анализ данных по смежным территориям свидетельствует о том, что геосинклинальный этап развития завершился к ордовику, а возможно, и к середине кембра. В верхнем палеозое район был поднят и подвергался интенсивной эрозии и денудации. В среднегорское время северо-западная часть площади снова опустилась и в соседнем с северо-запада Кызыльском бассейне происходило накопление угленосных отложений. В дальнейшем вновь происходила денудация, приведшая к формированию

выровненной поверхности [3]. Новейшие глыбовые движения еще более усложнили древнюю структуру района и предопределили развитие рельефа и оформление его в современном виде.

В пределах описываемого района выделяется несколько участков, резко отличающихся друг от друга в отношении рельефа.

ФЕМОПФОМОГИЯ

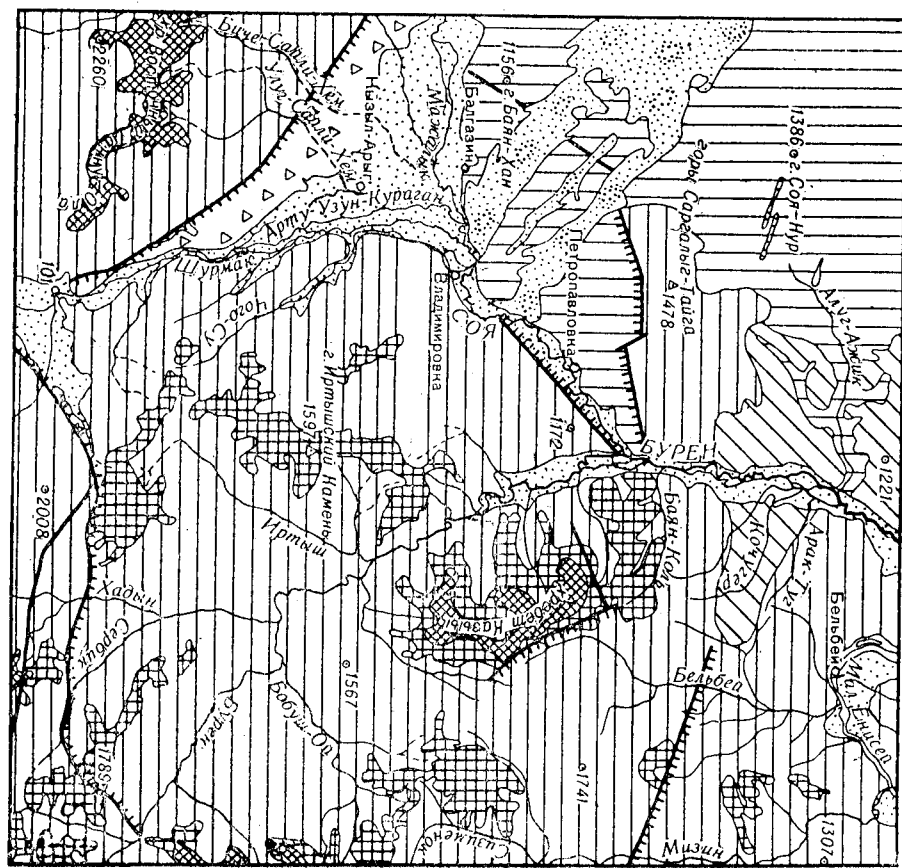


Рис. 2. Геоморфологическая схема

№	Подтип рельефа	Абсолют. высоты в м	Относительные превышения в м	Ведущий экзогенный фактор		Возраст образования
				Базисные	Поверхности	
1	Высокогорные выровненные поверхности	2000—2200	100—200	Комплексная денудация	Mz—Pg	
2	Среднегорный рельеф с пологими склонами	1500—1800	300—400	То же	Mz—Pg	
3	Среднегорный сильно расщепленный рельеф	1000—2000	600—1000	Водная эрозия	N—Q	
4	Низкогорный сильно расщепленный рельеф	1000—1400	300—400	То же	N—Q	
5	Низкогорный рельеф с сухими широкими долинами и останцовами, сильно расщепленными щелестами	900—1200	200—300	Эрозия	N—Q	
6	Плоские и мелкоколмистые поверхности равнин и долин, сложенные гравийными отложениями			Водная аккумуляция	Q	
7	Наклонные поверхности в долинах и котловинах, образованные отлогоvalно-промывальными отложениями			То же	Q <sub>3+4</sub>	
8	Массивы и отдельные гряды эрозионных отложений на водоразделах и в долинах			Эоловая аккумуляция	Q <sub>4</sub>	
9	Дизъюнктивные нарушения, выраженные в рельфе (штрихи на правлены в сторону опущенных блоков)					

На северо-западе наблюдался мелкосопочный останцовый рельеф, южнее он сменяется массивами грядовых песков, далее к югу в долинах рек Мажалька и Сой простирается обширная, почти равнинная котловина. На юго-западе над этой равниной резко возвышается хр. Восточный Танну-Ола, опоясанный шлейфом, полого наклоненным от подножья хребта к котловине. Центральной и восточной частям района свойствен сильно расчлененный горно-таежный рельеф.

Высокогорные въ ровнѣніе поверхности занимают осевую гольцовую часть хр. Восточный Танну-Ола и наблюдаются также на хр. Казы и в истоках р. Чарыша. Они расположаются на абсолютных высотах от 2000 до 2200 м и имеют относительные превышения около 100—200 м.

На площади листа М-48-Х11 выделяется Несколько рельефа (рис. 2), которые и описываются ниже.

Гольцовская часть хребтов характеризуется пологосклонным слаборасчлененным рельефом и представляет собой серию обширных почти плоских возвышенностей, разделенных широкими ложбинами. Долины рек в верховьях очень широкие, неразработанные. Поверхность гольцов покрыта развалами камней, группирующимиися в «каменные многоугольники и кольца». Внутренние части этих образований, напоминающих «клумбы», выполнены замшелым мелкоземом. Характерными формами рельефа являются нагорные террасы и их уступы, которые широко развиты на хр. Восточный Танну-Ола. Местами здесь наблюдаются три плоских площадки, разделенные скалистыми уступами высотой около 20—30 м. Ширина каждой площадки достигает 300—500 м. Некоторые площадки протягиваются на расстояние до 2—3 км. Иногда на гольцовой поверхности наблюдаются скалистые выступы коренных пород высотой 20—40 м.

Главными процессами в рельефообразовании гольцовой зоны являются морозное выветривание и солифлюкция, развитию которых весьма способствует отсутствие древесной растительности.

*Среднегорный рельеф с пологими склонами* представляет собой ступень, расположенную более низко по сравнению с высокогорными выровненными поверхностями.

Среднегорный пологосклонный рельеф занимает наиболее высокие части водораздела р. Шурмака и Иртыша, хр. Казы, водораздел р. Сизименока и Бобул-Ой; небольшие участки развития описываемого рельефа выделены и в других частях района. Среднегорный пологосклонный рельеф расположен на абсолютных отметках 1500—1800 м над уровнем моря и имеет относительные превышения 300—400 м.

Склоны и водоразделы в большинстве случаев задернованы, покрыты древесной растительностью. Более мягкие, слаженные формы рельефа развиты на девонских гранитах, более резкие — свойственны участкам развития девонских и нижнекембрийских отложений и, особенно, докембрийских метаморфических пород. В первом случае скалистые выходы встречаются весьма редко, для второго они обычны. Местами (левобережье р. Сизименок) водоразделы увенчаны скалистыми труднопроходимыми грядами, вытянутыми по простирации слагающих их метаморфических сланцев.

Долины слабо врезаны, имеют V-образный попеченный профиль.

*Среднегорный сильно расчлененный рельеф* пользуется наиболее широким распространением. Абсолютные отметки в пределах этого района составляют 1000—2000 м, глубина расчленения меняется от 600 до 1000 м.

Гребни хребтов имеют резкие очертания лишь в участках развития докембрийских и кембрийских образований. В обла-

сти, сложенной девонскими гранитами, водораздельные хребты более слажены. Обычно они покрыты древесной растительностью и лишены коренных выходов пород.

Слоны довольно пологие, северные — сплошь затаежены, а в нижних частях заболочены, на южных склонах местами встречаются безлесные сухие участки.

Долины в верховьях имеют V-образный, реже яшикообразный попеченный профиль, в среднем течении долины становятся V-образными и корытообразными.

Наиболее резкие формы свойственные юго-западу района — склонам хр. Восточный Танну-Ола. Здесь повсюду имеются скалистые вершины: склоны круты, покрыты крупными глыбами; долин V-образные, с ущельями и водопадами.

*Низкогорный сильно расчлененный рельеф* развивается в нижнем течении руч. Алут-Ажик и на правобережье р. Бурен близ северной границы района, на абсолютных высотах 1000—1400 м,

при относительных превышениях 300—400 м.

Для этого рельефа характерны широкие долины, выполненные аллювиально-делювиальными отложениями и глубоко изрезанные скалистые водораздельные хребты. Обычно северные склоны лесистые и плохо обнаженные, южные безлесные и обнажены лучше. Скалистые, обрывистые вершины хребтов резко сменяются пологими склонами, перекрытыми плащом делювиальных шлейфов.

Своеобразный рельеф развивается на пологолежащих песчаниках верхнего девона на правобережье р. Бурена. Этому рельефу свойственны мягкие формы при сравнительно резкой расчлененности. Здесь изобилиуют овраги и небольшие западины. На склонах южной экспозиции довольно часто встречаются кустообразные выходы девонских песчаников.

*Низкогорный рельеф с сухими широкими долинами и останцовыми сильно расчлененными возвышенностями* развит на северо-западе района. Абсолютные высоты составляют здесь до 900—1200 м, относительные превышения достигают 200—300 м. Описываемый подтип характеризуется широкими долинами с пологими, задернованными склонами, выполненными аллювиальными и пролювиально-делювиальными отложениями. Эти долины распаханы и являются основными посевными площадями зерновых культур района.

Обычно здесь наблюдаются останцовые возвышенностии с сильно расчлененными вершинами и пологими склонами, перекрытыми делювиальными шлейфами.

Главной дренирующей системой является долина руч. Алут-Ажика, которая имеет корытообразный попеченный профиль с пологими склонами. Изредка наблюдаются террасированные участки долины; в составе рыхлых отложений террас значительную роль играют золовые пески. Часто встречаются глубокие овражистые сухие долины временних водотоков, проре-

зающие делювиальные шлейфы, отложения конусов выноса и аллювиальные отложения террас.

Плоские и мелкохолмистые поверхности равнин и долин, сложенные аллювиальными отложениями, развиты по крупным рекам—Сое, Шурмаку и Бурену. Наиболее значительна по площади равнина в нижнем течении р. Шурмака и по рекам Мамалыку и Сое. Большая часть поверхности этой равнины представляет собой пойму рек Шурмака и Мажалыка. Также довольно значительна площадь, отвечающая I надпойменной террасе, высотой 2—3 м. Менее широко развиты II надпойменная терраса, высотой которой составляет около 10—12 м и III терраса, высотой около 20 м.

Более высокие террасы встречаются эпизодически, они явля-

ются по большей части покольными.

Среди равнинной поверхности местами поднимаются останцы: г. Овалыдей у пос. Балгазин, г. Мажалык у западной границы района и т. д.

*Наклонные поверхности в долинах и котловинах, образованые делювиально-пролювиальными отложениями.* Этот подтип аккумулятивного рельефа развит в окраинных частях Центрально-Тувинской котловины, окаймляющей с севера хр. Восточный Танну-Ола.

Отложения конусов выноса сливаются друг с другом, обраzuя обширную пролювиальную террасу, наклон которой постепенно уменьшается по направлению от крутых скалистых склонов к котловине. Угол наклона у подножья хребта достигает 5—7°, а в месте сочленения с аллювиальной равниной не превышает 1—2°. Изредка на поверхности пролювиальной террасы наблюдаются небольшие холмы с выходами коренных пород. Конусы выноса образуются у выхода горных потоков из скалистых ущелий. В пределах пролювиальной террасы водоток исчезает, русла ручьев распадаются на ряд сухих проток.

*Массивы и отдельные гряды золовых отложений на водоразделах и в долинах.* Этот подтип рельефа развит на северо-западе на восточной окраине Центрально-Тувинской котловины.

Характерными формами рельефа здесь являются песчаные дюны, которые можно подразделить на закрепленные (боровые) и незакрепленные (перевеваемые).

Боровые (закрепленные) пески характеризуются хорошо сохранившимся дюнным строением с относительной высотой 20—30 м и протяженностью дюн до 150—200 м. Сосновые леса сохранили пески от дальнейшего их перевевания.

Незакрепленные пески часто имеют строение колышевых дюн, которые образуются в результате выдувания центральных частей дюн. Гряды золовых песков вытянуты в северо-западном направлении. И. С. Гудилин и А. Л. Долин [3] считают, что большая часть песков образовалась в результате разведения северо-западными ветрами аллювиальных отложений р. Улуг-

хем (р. Енисей, ниже слияния рек Мал. и Больш. Енисея). Небольшие песчаные гряды запад-северо-западного простирания наблюдаются в северо-западной части района, где они выражены узкими, довольно расплывчатыми, террасированными площацками.

*История развития рельефа.* По И. С. Гудилину [3], к началу неогена в результате продолжительной комплексной денудации на юго-востоке Тувы и в прилежащих районах образовалась пологая выровненная поверхность. Эта поверхность не была совершенно плоской, а характеризовалась полого-холмистым рельефом с относительными превышениями порядка 200—300 м. Она сохранилась в гольцовой зоне хр. Восточный Танну-Ола.

В неогене происходили интенсивные глыбовые движения, в результате которых различные блоки были подняты на различную высоту. Наиболее высокогодные блоки оказались в условиях субполлярного климата. Сформировавшаяся при этом вечная мерзлота обусловила появление в гольцовых зонах специфических форм рельефа морозного выветривания. В неогеновый период в депрессиях по южному склону хр. Восточный Танну-Ола формировались коррелятивные (по отношению к поднятиям хребта) обломочные отложения [22].

В самом начале четвертичного периода вновь произошли интенсивные подвижки, обусловившие новые поднятия хребтов и образование пологих складок в плиоценовых отложениях, известных к западу от описанного района [12]. Возникший в связи с нижнецефаллическими поднятиями новый эрозионный цикл привел к значительному обновлению эрозионного рельефа и накоплению новых толщ обломочных отложений в депрессиях. В дальнейшем, в четвертичное время, происходили менее интенсивные подвижки. Следствием этих движений и разделяющих их периодов затухания движений явилось формирование поверхностей и уступов комплекса высоких террас.

## ПОЛЕЗНЫЕ ИСКОПАЕМЫЕ

На геологическую карту нанесены все известные проявления полезных ископаемых, в том числе и те, которые не представляют практического значения, но имеют геохимический интерес. В настоящей главе описаны наиболее важные и лучше изученные проявления.

### МЕТАЛЛИЧЕСКИЕ ИСКОПАЕМЫЕ

#### *Черные металлы*

**Железорудные проявления** района принадлежат двум генетическим типам: 1) магнетитовые руды метаморфогенные (железистые кварциты) и 2) магнетитовые руды kontaktово-метаморфические (в скарнах).

Месторождение железистых кварцитов было обнаружено при редакционных работах в 1957 г. на правом берегу р. Хадына (П-34)<sup>1</sup> в 10 км выше устья [23ф]. На месторождении имеется два пласта железистых кварцитов, приуроченных к верхней части чинчилской серии. Пласти дают выходы лишь на водоразделе между двумя правыми притоками р. Хадына. На склонах они не обнажены. Пласти простираются в северо-западном направлении, круто падая к северо-востоку (угол 60—70°).

Железистые кварциты представляют собой тяжелые черные полосчатые углистые мелкозернистые сильно магнитные породы. Мощность нижнего пласта составляет 12—13 м, верхнего 2—3 м, мощность разделяющей их безрудной пачки около 50 м.

Железистые кварциты состоят из магнетита, гематита, кварца, плагиоклаза, амфибала и пироксена. Магнетит образует мелкие (0,001—0,2 см) изометрические зерна полигональных очертаний. Рудные полосы по правильным плоскостям отграничиваются от нерудных, сложенных в основном кварцем. Амфибол представлен куммингтонитом, пироксен — гиперстеном. Текстура пород полосчатая: мощность рудных прослоев меняется от 3—5 мм до 15—20 см. Соотношение мощностей рудных и нерудных полос в среднем около единицы. По данным анализа единственной бороздовой пробы, отобранной по нижнему пласту на водоразделе правых притоков р. Хадына, в составе железистых кварцитов присутствуют:  $H_2O$ —0,35%;  $SiO_2$ —45,4%;  $Al_2O_3$ —0,87;  $Fe_2O_3$ —14,47;  $FeO$ —29,24;  $TiO_2$ —0,19;  $CaO$ —1,29;  $MgO$ —2,49;  $SO_3$ —0,11;  $P_2O_5$ —0,73;  $\Sigma$  шелочей — 0,43;  $Fe_{\text{вал}}$  — 32,85%. По содержанию железа 32,85% эта пробы, по видимому, недревесивальна, так как в однотипных железистых кварцитах Мутурского месторождения (лист М-46-XVII) железо, по результатам анализа нескольких сот проб, составляет не менее 35—37%. Нижний пласт прослежен поисковой магнитометрией на расстояние около 1500 м. Верхний пласт не прослежен. Ориентировочные геологические запасы месторождения при глубине подсчета 100 м, составляют около 2,5 млн. т железа в рудах, содержащих 32,85% железа.

Железистые кварциты являются древними осадочными богатыми железом отложениями, в дальнейшем интенсивно метаморфизованными.

Железистые кварциты Мутурского месторождения, находящиеся на смежном с юга листе, характеризуются высоким содержанием герmania. В отношении герmania железистые кварциты района не изучались и, возможно, также представляют интерес.

<sup>1</sup> Ссылки на номер того или иного проявления (месторождения) по карте в отличие от ссылок на номер списка литературы снабжены буквой «П».

Проявления магнетитовых руд в скарнах на площасти листа довольно многочисленны. Наиболее крупным из них является Шамбалыгское месторождение (П-2). Оно расположено на правом берегу сухой долины Малого Шамбалыга, в ее верховьях [20ф]. Кривая напряженности магнитного поля (график  $\Delta Z$ ) над месторождением имеет зубчатую форму, причем величина  $\Delta Z$  достигает 2500 гамм [19ф]. Зона повышенных значений, четко выделяющаяся серий пиками еще большей напряженности, вытянута в широтном направлении к востоку от месторождения на протяжении 3—4 км.

Месторождение приурочено к нижней части разреза кускунгской толщи, в которой среди различных роговиков встречаются пласти и линзы мраморов и мраморизованных известняков, местами скарнированных. Мраморы и роговики имеют выдержанное широтное простирание и крутое падение к северу (70—80°). Мраморы, роговики и скарны часто перемежаются с рассланцованными диорит-торфоритами.

Среди скарнов и скарнированных пород отмечены эпидотовые, гранатовые, гранато-магнетитовые полосчатые, гранато-пироксеновые с линзами массивных магнетитовых руд и другие разности.

На месторождении обнаруживается определенная закономерность в распределении различных скарнов и приуроченных к ним руд. Наиболее высокотемпературные гранато-пироксеновые и гранатовые скарны и массивные магнетитовые руды встречаются только на юге участка вблизи контакта с нижнепалеозойской интрузией. Севернее располагаются более низкотемпературные гранато-эпидотовые и эпидотовые скарны, скарнированные мраморы и своеобразные полосчатые руды.

На месторождении выделяются два типа руд: массивные мелкозернистые магнетитовые руды и полосчатые магнетитовые руды с вкрапленностью и полосками граната. Руды первого типа свежие, почти невыветренные, состоят на 98—99% из магнетита и по своему качеству несомненно удовлетворяют современным кондициям. Руды второго типа (полосчатые), являясь более бедными, частично, видимо, также удовлетворяют современным требованиям (они содержат около 60% магнетита).

Железные руды месторождения генетически, несомненно, связаны со скарнами, образующимися в зонах контакта нижне-палеозойских интрузий с кембрийскими карбонатными отложениями. Метасоматическое замещение скарновых минералов магнетитом, наблюдавшееся как в полированных шлифах, так и при полевых наблюдениях, указывает на то, что процесс железорудного метасоматоза является, наложенным. Первичные полосчатые текстуры карбонатных пород обусловили обра-зование полосчатых руд. Наложением железорудного метасоматоза на скарновые породы обусловлена и преимущественная

приуроченность массивных руд к высокотемпературным скарнам, хотя магнетит в небольшом количестве присутствует и в низкотемпературных скарнах и в скарнированных породах.

Спектральные анализы скарнов показывают присутствие таких элементов, как медь, никель, кобальт, титан, ванадий, галлий, однако содержание всех их не превышает сотых долей процента, что вряд ли может иметь значение для оценки месторождения. Помимо магнетитовых руд, на месторождении отмечено мелкое орудение. Оно проявляется главным образом в наличии примазок и корочек малахита в магнетитовых рудах, скарнах и вмещающих их породах. По-видимому, малахит образуется при гипергенных процессах за счет окисления мелкой вкрапленности мелкосодержащих сульфидов в скарнах. Концентрация мелких минералов и количество их, видимо, далеки от требований промышленности.

Массивные магнетитовые руды на участке месторождения образуют несколько (5–6) мелких линз мощностью 0,3–1,5 м и длиной до 2–5 м и одну более крупную линзу мощностью 5–7 м, прослеженную на 30–40 м. Полосчатые руды обнаружены, кроме того, в виде 3–4 линз мощностью 2–5 м и длиной до 10 м.

Выявленные к настоящему времени рудные тела невелики по размерам и даже вместе взятые не представляют промышленного интереса. Однако, учитывая, что более крупные тела могут встретиться на глубине либо под четвертичными отложениями к югу и востоку от обнаженного участка, Шамбалыгское месторождение в 1952 г. было рекомендовано А. В. Ильиным и В. М. Моралевым для проведения детальных магнитометрических работ [20Ф]. Эти работы поставлены не были.

Более мелкие железорудные проявления скарнового типа известны в нескольких пунктах. Во всех участках магнетитовые рудопроявления связаны со скарнированием нижнекембрийских отложений, залегающих в виде ксенолитов среди различных интрузивных пород, преимущественно диоритов и габбро.

В восточном левом приоточке руч. Алуг-Ажика (П-1) магнетит наблюдается в виде мелких линз, просечек и прожилков, мощностью 2–3 см, в гранатовых, гранато-эпидотовых скарнах [20Ф].

На левом берегу того же ручья (П-5) у контакта линзы мраморов с кварцевыми дислитами и диоритами наблюдались различные скарны с магнетитом. Магнетит отмечен в виде тонких просечек и мелких линзочек. В свалах встречены глыбы массивного магнетита до 20–30 см в поперечнике. Здесь же гранатовые скарны содержат примазки азурита и малахита в виде натечных форм инкрустаций [20Ф].

К северу от с. Ильинка (П-10) сильно окисленные, пористые выделения магнетита наблюдались среди эпидотовых скарнов, в небольшом ксенолите нижнекембрийских пород [20Ф].

В приосезой части хр. Восточный Танну-Ола (П-30) среди амфиболовых сланцев, окварцированных по трещинам, наблюдалась линза мелкозернистого, массивного плотного магнетита, мощностью около 30 см и прослеженная на расстоянии до 20 м [20Ф].

### Цветные металлы

#### Медь

Рудопроявления меди встречаются довольно часто. Большинство их также приурочено к скарнам, где они наблюдаются совместно с магнетитом. Мелкие минералы скарнов представлены мелкой и редкой вкрапленностью халькопирита. Чаще встречаются примазки и корочки карбонатов меди, лишь изредка достигающие 2–3 мм толщины; карбонаты меди выделяются также в виде тонких примазок и инкрустаций.

На месторождении долины Мал. Шамбалыга (П-2) медная минерализация по всей видимости, близка по времени к железной. На левобережье руч. Алуг-Ажик (П-5) мелкое орудение, связанное с окварцеванием скарнов, является более поздним, чем железное.

На левобережье р. Шурмака (П-28), в среднем течении, в зоне разлома наблюдалась пологогатающая зона миллиметровых гранитоидов мощностью 5–7 м, длиной несколько десятков метров, изредка содержащих тонкие примазки по трещинкам малахита и азурита [20Ф].

Проявления меди колчеданного (?) типа отмечены в нескольких участках на южном склоне хр. Восточный Танну-Ола (П-32, 33) среди измененных плагиопорфиров, кварцевых порфиров и фельзитов таннульской толщи нижнего кембрия [20, 23Ф]. Вмещающие эфузивы сильно серпентинизированы и окварцеваны. Они содержат тонкую, реже более крупную вкрапленность пирита. В небольшом количестве присутствует халькопирит. Эфузивы с сульфидной вкрапленностью встречаются довольно часто. Общее содержание сульфидов достигает нескольких процентов. Спектральным анализом установлено, что среднее содержание меди по нескольким пробам составляет 0,01–0,02%, цинка 0,01–0,02%, свинца, серебра, кобальта, никеля менее 0,003%. Генетическая сторона описанных проявлений недостаточно выяснена, они слабо изучены в отношении состава и размеров, вследствие чего оценка их не ясна.

### Никель-кобальтовые

В одном из рудопроявлений сульфидов спектральным анализом обнаружено присутствие никеля и кобальта. Это проявление находится на водоразделе хр. Восточный Танну-Ола (П-31) и приурочено к гнейсовидным амфиболизированным

табброидным и габбро-диоритовым комплекса. Вкрапленность сульфидов встречается в интрузивных породах и реже в породах кровли — кембрийских амфиболовых и амфиболитовых оротовикованных сланцах [20Ф].

Интузивные породы — габбро и габбро-диориты, довольно сильно изменены. Сульфидная вкрапленность наблюдается в виде мелких неравномерно рассеянных выделений величиной до 1—2,5 ми и в виде более крупных линзообразных скоплений длиной до 2—5 см, ориентированных согласно гнейсовидности.

Рудные минералы представлены пиритом, халькопиритом, пирротином.

Присутствие никеля и кобальта в породах составляет по данным спектрального анализа не более сотых и тысячных долей процента. Скорее всего оно связано с тем, что эти элементы имеются в виде изоморфных примесей в пирите и пиротине, а возможно, и в других рудных минералах, которые не были обнаружены. Площадь распространения вкрапленных руд составляет не менее 5—6 км<sup>2</sup>.

Генетически описываемыерудопроявления, видимо, близки к типу собственно магматических медно-никелевых месторождений в основных породах и представляют интерес для дальнейшего изучения.

### Благородные металлы

#### Редкие земли

Отмеченные на карте проявления редкоземельного оруденения установлены по данным минералогического анализа шлихов, промытых из протолочек.

Все проявления редких земель обнаружены в бассейне р. Бурена среди гранитов Бренского массива. На правом берегу р. Бурена, в 10 км выше заимки Шагларик в шлихе из протолочки крупнозернистых биотитовых гранитов отмечен ортит в количестве приблизительно 0,001% и редкие знаки торита. У заимки Шагларик (П-24) и ниже ее по течению р. Бурена (П-23), а также в ряде других мест Бренского массива в розоватых среднезернистых биотитовых гранитах встречены монацит в количестве около 0,005% и знаки ортита.

В среднем течении р. Бурена, у устья р. Бобуш-Ой (П-27) в серых среднезернистых биотитовых гранитах обнаружены редкие знаки сранжита, монацита, радиоактивного циркона. В этих же протолочках присутствуют редкие знаки шеелита и галенита. Монацит, циртолит, ортит и оранжит встречаются в шлихах из аллювиальных отложений р. Бурена и ее притоков. Повышенных концентраций этих минералов в аллювии не наблюдалось. Минералы редких земель, встреченные в шлихах из рыхлых отложений и протолочек, являются аксессориями гранитах.

## Тантал и ниобий

По данным В. В. Архангельской [16Ф] в лейкократовых биотитовых розовых гранитах на левом берегу р. Сербика у устья р. Чедралика местами (П-35) содержится мелкая, но равномерная вкрапленность колумбита. Кристаллы колумбита имеют призматический габитус и достигают 1—2 ми по длиной оси.

Содержание колумбита составляет до 10—12 г на 1 т городы. В колумбиносных гранитах имеется более крупная вкрапленность флюорита. Эти граниты имеют, по В. В. Архангельской, несколько повышенную радиоактивность. Колумбит является, видимо, аксессорным минералом гранитов. Данные о размерах проявления отсутствуют. При редакционных работах район устья р. Чедралика был трижды посещен, но рудопроявление не найдено, что объясняется, скорее всего, его весьма скромными размерами.

### Прочие неметаллическиеископаемые

#### Асбест хризотиловый

В истоках руч. Баян-Коля на водоразделе с системой р. Бельбяя в серпентинизированных дунитах встречены тонкие (1—2 ми) прокишки хризотил-асбеста (П-18). Известные к настоящему времени данные не позволяют считать это проявление практически интересным.

## СТРОИТЕЛЬНЫЕ МАТЕРИАЛЫ

### Известняки

Залежи известняков и мраморов сравнительно широко распространены в районе, особенно в юго-восточной его части. Добыча известняков для обожига на известь производится лишь в двух участках на правобережье р. Бурена, около пос. Ильинка (П-17, П-20). В обоих участках разрабатываются белые сахаровидные мелкозернистые мраморизованные известняки [16, 23Ф].

### Глины и суглинки

На площади листа М-46-ХII имеется несколько месторождений кирпичных глин. Одно из разрабатывающихся месторождений расположено в районе к северо-востоку от пос. Майманы. Здесь несколькими карьерами глины вскрыты на глубине 1,5—2 м (П-13).

В стенах карьера видно, что ниже тонкого (0,1—0,2 м) почвенного слоя располагаются буровато-красные глины с очень редкой дресвой и мелкими окатанными гальками. Эти глины являются основным объектом добычи, мощность их около 0,8 м. Ниже глины изобилиуют гранитной дресвой и галькой, так что

качество их снижается, и они извлекаются лишь в отдельных участках (карманах), содержащих более чистую глину. Вскрытая карьером мощность глин с дресвой и галькой не менее 1 м [20Ф].

Глины месторождения несомненно высокого качества. Они пластиичны, а после обжига дают хороший звонкий кирпич.

Площадь распространения глин составляет около 0,3 км<sup>2</sup>, ориентировочные запасы исчисляются цифрой порядка 300—500 тысяч т.

В настоящее время глины используются только для производства кирпича местным заводом производительностью около 300 тысяч штук в год. Кирпич идет для нужд населения близких сел.

Происхождение глин не вполне ясно. По-видимому, это переотложенные речными водами элювиальные образования.

Западнее с. Ильинка на поверхности террасы высотой 3—5 м мелкими карьерами вскрываются глины (П-11), несомненно, аллювиального происхождения. Видимая мощность их до 1,5 м.

Глины серого и буровато-серого цвета, слюдистые, слабо песчанистые, пластичные во влажном состоянии. Они используются местным населением для производства необожженного кирпича — сырца. После обжига дают хороший звонкий, но не прочный кирпич. Площадь распространения глин не более 0,2—0,3 км<sup>2</sup> [20Ф].

В районе к северо-западу от пос. Маймазына (П-12) глины пользуются широким распространением. Они залегают в виде плаща с неровной нижней поверхностью на красноцветах верхнего девона и являются, по-видимому, элювиальными образованиями. В нижних частях глинистого покрова глины обогащены щебенкой песчанников и, видимо, непригодны для производственных целей. Мощность более чистых глин в пониженных частях рельефа достигает 0,8—1,2 м [20Ф].

Глины красно-бурового цвета, слегка песчанистые, пластичные во влажном состоянии. По своему качеству они, видимо,

блики к глинам соседнего, описанного выше, месторождения (П-13) и пригодны для производства строительного кирпича и гончарных изделий. Площадь распространения глин обширна, так что, несмотря на невыдержанную мощность, запасы их велики. В настоящее время они не разрабатываются.

Аллювиальные глины (П-7) левобережья долины р. Бурена в районе пос. Азыган обнажаются в обрыве II надпойменной террасы и имеют мощность до 1,5 м. Сверху они перекрыты серым делювиальным суглинком мощностью до 1 м. Глины также могут быть использованы для производства кирпича [16Ф].

Месторождения суглинков известны в среднем течении р. Ишкендер (П-25), у подножья хр. Восточный Танну-Ола (П-29) и в ряде других мест [16Ф, 20Ф, 23Ф]. Пор. Ишкендеру суглинки

слагают уступы террасы высотой до 25 м и распространены на значительной площади (до 1,5 км<sup>2</sup>). Мощность суглинков составляет не менее 5—6 м.

У подножья хр. Восточный Танну-Ола, в среднем течении р. Шурмака суглинки слагают террасу высотой до 45—50 м, которая прослежена на 50 м вниз по течению, при ширине ее 20—40 м. Мощность суглинков достигает здесь 5—8 м.

В обоих участках суглинки плотные, склеившиеся, серого и буровато-серого цвета, обычно с хорошо выраженной вертикальной пористостью, местами содержат мелкие листочки светлой слюды. Сухая порода, в руке рассыпается в пыль, во влажном состоянии приобретает пластичность. Из-за отсутствия специальных лабораторных исследований суглинков можно лишь приблизительно судить о возможности их применения. По-видимому, они могут быть рекомендованы для производства строительного кирпича, а при добавлении более жирных глин могут быть использованы для производства черепицы и трубы.

### Песок строительный

Эоловые пески изобилуют в северо-западной части района. Пески существенно кварцевые, желтовато-серые, мелко- и тонкозернистые, слабо железистые. Характеризуются они весьма равномерной зернистостью и отсутствием глинистых частиц [20Ф].

Ниже приведены данные гранулометрического и минералогического анализа песков левобережья р. Сол, против устья р. Узун-Курагана (П-16).

Гранулометрический состав (по методу Сабанина):

Фракция (в м.м.)	Содержание (в %)
0,5—0,25	5,2
0,25—0,05	94,8
0,05—0,01	Следы

Минералогический состав песков. Фракция 0,25—0,05 м.м.:

1) кварц (90%) — бесцветные слегка окатанные зерна и молочно-белые полукатанные зерна с блестящей поверхностью, в очень редких случаях слегка окисленные; 2) кремень (2,7%); 3) рутил (единичные знаки); 4) полевые шпаты (2,9%) — полукатанные пластинчатые обломки; 5) амфибол (4,1%) — темно-зеленые, буро-зеленые полукатанные и окатанные зерна; 6) магнетит (единичные знаки) — полукатанные зерна; 7) гранаты (единичные знаки) — угловатые обломки. Фракция 0,05—0,25 состоит из тех же минералов, что и фракция 0,25—0,05<sup>1</sup>.

<sup>1</sup> Анализ выполнен минералогом З. В. Кузнецовой.

Основным недостатком песков является их тонкозернистость ( $0.25-0.05$  мм), что ограничивает возможные области их применения. Пески могут быть рекомендованы для производства строительных материалов и низкосортного (темного) стекла, а также как формовочные пески для медного литья. Мощность песчаных отложений достигает  $30-50$  м, площадь распространения около  $120-140$  км $^2$ . Запасы их практически неисчерпаемы. Месторождения легко доступны.

### Кварцит

Залежи кварцитов имеются в северо-восточной части района, на левобережье р. Бельбя в верховьях. Они приурочены к нижней части разреза кускунгской свиты. Залежи представлены серыми, желтоватыми и буроватыми мелко- и среднезернистыми слоистыми кварцитами. Петрографическим изучением установлено, что кварциты весьма «чистые» и состоят на 98—99% из кварца [23Ф]. Они могут быть рекомендованы после соответствующего изучения для производства линаса. Запасы кварцитов в районе весьма велики.

### Абразивное сырье

Проявления абразивного сырья представлены гранатовыми скарнами, которые часто встречаются в северо-западной части района. Наиболее часто эти проявления отмечаются в верховых руч. Алут-Джика (П-4). Они наблюдаются обычно в виде полос шириной до  $15-20$  м и длиной до нескольких сот метров [20Ф]. Эти полосы слагаются буроватой мелко- и среднезернистой породой, состоящей почти из одного граната (андрадита). Абразивные свойства гранатовых скарнов района не изучены.

### ИСТОЧНИКИ МИНЕРАЛЬНЫХ ВОД

Единственный источник минеральных вод расположен в среднем течении руч. Аршана на правобережье (П-22). Этот источник описан, по данным В. В. Архангельской [16Ф], в главе VI.

Некоторые полезные ископаемые отмечались лишь в шлихах и не были обнаружены в коренном залегании. К числу их относятся кассiterит, киноварь и золото.

Кассiterит встречен в единичных зернах, в трех шлихах по долине р. Шамбалыга. При повторном более детальном шлиховании положительных результатов получено не было [20Ф]. Наиболее вероятно, что кассiterит генетически связан с пегматоидными кварцево-полевошпатовыми жилами с гранатом, встречавшимися в бассейне р. Шамбалыг.

Киноварь обнаружена в единственном шлихе по долине р. Шурмак у южной границы района. Возможно, что появление

ее в шлихе связано с зоной разрывных нарушений, располагающихся в бассейне верховьев р. Шурмака [20Ф].

Золото встречено в количестве 1—2 зерен в нескольких шлихах по рекам Шурмаку, Бурену, а также в аллювиальных ручьях, стекающих с хр. Восточный Танну-Ола [20Ф]. Коренные источники золота неизвестны.

В 1951 г. район был охначен аэромагнитной съемкой масштаба 1 : 100 000 прибором Логачева. По данным Г. Г. Игнатьева, руководившего этими работами [19Ф], наименьшая напряженность магнитного поля свойственна участкам распространения красноцветов верхнего девона (см. рис. 3). В Балгазинской мульде напряженность магнитного поля изменяется в пределах от 100—200 до 500 гамм, при преобладающем значении порядка 350 гамм. Минимальные значения напряженности характерны для западной и юго-западной частей Мульды. На графиках напряженности магнитного поля (кривых  $\Delta Z$ ) четко отбивается круговой склон хр. Восточный Танну-Ола, а также склон северного обрамления Балгазинской мульды. Отрицательные значения напряженности отвечают кислым породам Нижнепалеозойского интрузивного комплекса. Наибольшие значения напряженности свойственны нижнекембрийским эфузивным расщлензованным городам, а также диоритовым и габброидным разностям таннульской интрузии. С этими образованиями, а также с гипербазитами, Г. Г. Игнатьев связывает большинство обнаруженных магнитных аномалий. Граниты и гранитопорфирь девонского комплекса создают магнитное поле с положительными значениями, достигающими 1000—1500 м. Подавляющее большинство небольших проявлений магнетитовых руд в скарнах на графиках кривых  $\Delta Z$  не нашло своего отражения. Не наблюдалось аномальных явлений и в районе месторождения железистых кварцитов. Некоторые, более крупные проявления магнетитовых руд в скарнах, например Шамбалыгское, отражены появлением аномалий на графиках (см. выше).

### ПЕРСПЕКТИВЫ ТЕРИТОРИИ ЛИСТА В ОТНОШЕНИИ ПОЛЕЗНЫХ ИСКОПАЕМЫХ И РЕКОМЕНДАЦИИ О НАПРАВЛЕНИИ ДАЛЬНЕЙШИХ РАБОТ

Из железорудных проявлений, известных в районе, более перспективны метаморфогенные в докембрийских железистых кварцитах. Поиски этих проявлений следует ограничить участками развития верхней части чинчилитской серии. В качестве одного из основных методов поисков проявлений можно рекомендовать наземную магнитометрию. Среди железистых кварцитов встречались небольшие залежи болотых руд. Возможно, что такие залежи более крупных размеров могут быть обнаружены в дальнейшем при поисковых работах.

Наиболее крупные проявления железа в скарнах не велики по размерам и, судя по данным разведки Дургеновского место-

рождения, расположенного на смежном с запада листе, не представляют практического интереса. Тем не менее, учитывая весьма легкую доступность Шамбалынского месторождения,

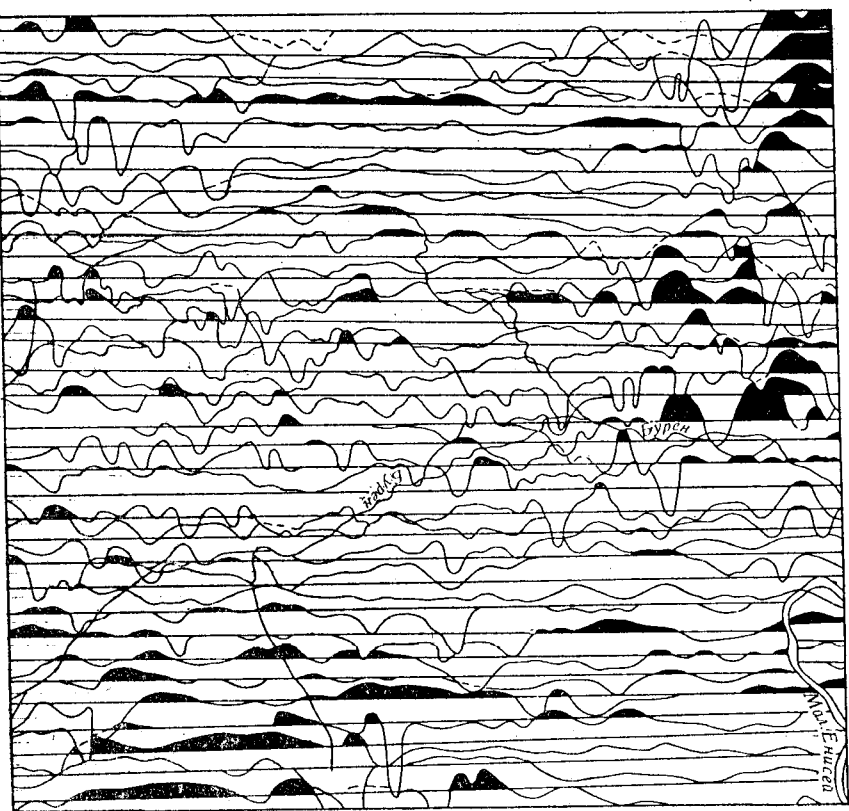


Рис. 3. Схема расположения аэромаршрутов и кривые  $\Delta Z$

(по Г. Г. Игнатову).  
1 — аэромаршруты (только четные); 2 — кривые  $\Delta Z$

непосредственную близость его к коксующимся углам Кызыльского бассейна, целесообразно проведение специальных работ в районе месторождения для прослеживания известных рудных

тел на восток и юг, а также для выяснения характера оруденения на глубину.

Проявление хризотил-асбеста, открытое в истоках руч. Баян-Коля, само по себе не представляет практического интереса. Однако, учитывая, что в аналогичных условиях непосредственно к югу от площади листа имеется промышленное месторождение асбеста, этот факт приобретает большое значение. Он позволяет считать площадь развития кускунуской толщи на правобережье р. Бурен, особенно в истоках руч. Каян-Коля, перспективной на поиски асбестоносных массивов гипербазитов. На известных к настоящему времени массивах целесообразно провести поиски участков с асбестовым оруднением.

Приоценке перспективности района на редкие земли, золото, кассiterит и другие полезные ископаемые, которые могут быть выявлены при шлиховом опробовании, необходимо учесть следующее. Наиболее благоприятной для проведения шлихового опробования является южная часть района, где имеются постоянные водотоки и легко доступный рыхлый материал. В северной части района применение шлихового метода затруднено либо из-за отсутствия водотоков (северо-запад), либо из-за того, что материал для опробования в большинстве случаев не обнажен (северо-восток). Вся площадь района была охвачена шлиховым опробованием. Однако в силу указанных причин качество опробования и эффективность его различны для северной и южной частей района. Для северной части района отсутствие полезных компонентов не может расценяться как неблагоприятный показатель приоценке перспектив.

Большая часть площади района не перспективна на россыпное золото. Исключением, возможно, являются аллювиальные отложения р. Шурмака и долин северо-запада района.

На поиски проявлений tantalа, ниобия и редких земель перспективна крайняя юго-восточная часть площади листа М-46-ХII и смежные части соседних листов. Перспективной в этом районе представляется широтно ориентированная зона разрывных нарушений, разграничающих область преимущественного развития докембрия нагорья Сантилен и расположенную к северу область, занятую гранитоидными интрузиями. В этой зоне, на площади листа М-47-ХII, известно крупное промышленное месторождение tantalа, ниобия и редких земель (Улуг-Танзек) и несколько проявлений. В пределах этой зоны целесообразно провести специальные детальные поисковые работы. При подобных работах значительный эффект могут принести радиометрические исследования, так как большинство известных в Туве проявлений tantalа — ниобия и редких земель сопровождаются повышенной радиоактивностью.

Северо-западная часть района перспективна на поиски месторождений глин.

## ПОДЗЕМНЫЕ ВОДЫ

В районе выделяются два типа подземных вод — воды в рыхлых аллювиальных, делювиально-пролювиальных, эоловиальных отложениях и в коренных породах (трещинные воды в гранитах и пластово-трещинные в осадочных и эффиузивных породах). Вопросы химизма, точного дебита и режима подземных вод на площади листа не изучались. Помимо подземных вод, имеются поверхностные, представленные в основном речными водотоками.

На площади листа М-46-ХII могут быть выделены три гидрологических района, отличающихся друг от друга по литологическому составу коренных и рыхлых отложений, геоморфологическим особенностям, климатическим условиям и т. п.

Первый, наименее обводненный район, охватывает северо-запад площади листа и характеризуется сравнительно слабо расщлененным низкогорным рельефом и почти полной безлесностью. Только в низовьях и средних частях некоторых долин наблюдаются заболоченные участки и реже поверхностные водотоки, что связано, очевидно, с близостью водоупорных горизонтов.

В средних частях долин местами имеются подрусловые аллювиальные потоки, вскрытые колодцами в ряде мест: у заимки Шамбала, в верховых руч. Алуг-Ажики. Запасы вод незначительны, летом колодцы вычерпываются.

Выход трещинных вод известен в береговом врезе правого истока ручья Алуг-Ажики в виде источника, вытекающего из сильно трещиноватых дресвынистых гранодиоритов таннульского комплекса. Дебит источника 1,5—2 л/сек, температура 6°C [20Ф]. С трещинными водами также связан источник в уроцище Куран с дебитом 1—2 л/сек и колодец в верховых пади Баян-Булаг. Вода всех источников мягкая, прозрачная, приятная на вкус, вполне пригодная для питья и используется местным населением.

В Балгазинской мульде, выполненной плотно сцепленными обломочными продлами девона, перекрытыми в юго-западной части эоловыми песками, по всей видимости имеются воды пластово-трещинного типа, но источников этих вод на изученной площади не обнаружено. Возможно, к ним следует отнести источник Курий (Хурэ) с дебитом несколько литров в секунду.

В наиболее обжитой части описываемого района, на левобережье р. Сои большое значение имеют аллювиальные воды в террасовых отложениях. Колодцы у пос. Маймазын и Петровлавска в 6—8-метровой террасе обычно на глубине 4—6 м достигают воды. Местное население использует ее для питья.

Второй район охватывает остальную большую часть площади листа, кроме гольцовых водоразделов. Этот район имеет

сильно расщлененный рельеф, таежную растительность, густую гидрографическую сеть.

В коренных породах, представленных преимущественно гранитами, развиты трещинные воды.

В верховых руч. Аршана наблюдается несколько источников трещинных вод с очень малым дебитом. Вода этих источников прозрачна, слабо минерализованная, имеет слегка кисловатый вкус. Местными жителями она используется для лечебных целей [16Ф].

В верховых рек Чо-Су, Ишке-дера, у водораздела рек Чо-Су и Иртыша известен ряд источников, вытекающих непосредственно из трещин в эффиузивах и в гранитах. Дебит их невелик — сотые и десятые доли л/сек. Вода мягкая, прозрачная, приятная на вкус. Режим трещинных вод непостоянен и вследствии зависит от атмосферных осадков; во время дождей дебит их резко и быстро повышается [20Ф].

Большое значение имеют аллювиальные колодцами на небольшой (2—4 м) глубине на террасах крупных рек (пос. Бурен-Бай-Хак, Бельбей). Водоносность этого горизонта значительна.

В ряде мест существуют подрусловые аллювиальные потоки в аллювиальных и делювиально-пролювиальных отложениях, вскрываемые колодцами на глубине 1—2 м.

Для третьего гидрологического района, к которому относится гольцовская зона, характерны слабо расщлененные формы рельефа, вечная мерзлота, значительная обводненность. Водоупором для подземных вод рыхлых отложений является вечная мерзлота. Выходы надмерзлотных вод весьма многочисленны на гольцовской поверхности. Они обуславливают значительную заболоченность участков с вечной мерзлотой. Уровень подземных вод, связанных с мерзлотой, к концу лета постепенно понижается.

В истоках р. Сербик наблюдаются водоносные горизонты в моренных отложениях. Водоупором здесь служат глины и частично суглинки морены. Многочисленные мелкие озера, встречающиеся в этом районе, являются несомненно водоупорами поверхности потоков и грунтовых вод, питающихся преимущественно за счет атмосферных осадков.

В настоящее время подземные воды в районе играют подчиненную роль в снабжении населения, по сравнению с поверхностью. Все крупные поселки расположены вблизи рек и используют только легко доступные воды в аллювиальных отложениях. Для большей части площади — южной и восточной, вопросы водоснабжения не являются острыми, так как здесь развита густая гидрографическая сеть. В северо-западной части, по существу безводной (первый гидрологический район), напротив подземные воды имеют исключительно важное значение. Здесь используются воды всех, даже самых мел-

ких источников, часто дающих слегка засоленную жесткую воду. В дальнейшем несомненно большое значение должны приобрести волны делювиальных и аллювиальных отложений, преимущественно в верховых долин, где они залегают на глубине порядка 10—15 м и могут быть вскрыты колодцами. Третичные воды также, видимо, могут явиться источником водоснабжения.

## ЛИТЕРАТУРА

### Опубликованная

1. Благонравов В. А., Ильин А. В., Моралев В. М., Шенкман Я. Д. О кн. Л. Н. Леентьева «Краткий геологический очерк Тувы». Сов. геол., № 59. Госгеолтехиздат, 1957.
2. Болотдин А. Г. Археодиагностика и водоросли кембрийских известняков Монголии и Тувы. Тр. Монгольской комиссии. Вып. 10, ч. I. Изд. АН СССР, 1940.
3. Гудилин И. С., Долин А. Л., Нофеда И. Г. Объяснительная записка к геоморфологической карте Тувинской Автономной области масштаба 1 : 500 000. Госгеолиздат, 1952.
4. Долин А. Л., Кудрилев Г. А. Объяснительная записка к геологической карте Тувинской автономной области масштаба 1 : 1 000 000. Госгеолиздат, 1951.
5. Иванова Т. Н., Полевая Н. И. О возрасте интрузий сютхольского комплекса Тувы. Информ. сб. ВСЕГЕИ, № 4. Госгеолтехиздат, 1956.
6. Иванова Т. Н., Полевая Н. И. О возрасте интрузий Танну-ольского комплекса (Тув. А. О.). Информ. сб. ВСЕГЕИ, № 3, Госгеолтехиздат, 1956.
7. Ильин А. В., Моралев В. М. Геологическая карта СССР масштаба 1 : 200 000 листов М-46-XVIII, XXIV и объяснительная записка к ней. Госгеолтехиздат, 1957.
8. Ильин А. В. Стратиграфия докембрийских отложений западной части нагорья Сангилен. Сов. геол., № 4, 1958.
9. Кузнецов В. А., Пинус Г. В. Интрузивные комплексы Тувы и основные закономерности в их проявлении. Докл. АН СССР, т. 65, № 1, 1949.
10. Левенкост А. И. О докембрии юго-восточной Тувы (нагорье Сангилен). Докл. АН СССР, т. 65, № 2, 1949.
11. Леонтьев Л. Н., Ипатов М. М. О возрасте некоторых каледонских гранитов хр. Восточного Таннуолта (Тувы). Докл. АН СССР, т. 88, № 1, 1953.
12. Леонтьев Л. М. Краткий геологический очерк Тувы. Изд. АН СССР, 1956.
13. Покровская Н. В. Стратиграфическое значение археодиагносты геологии Азии. т. I, изл. АН СССР, 1954.
14. Hansen. The Upper Jenissei drainage Area. Helsingfors, 1927.
15. Агентов В. Б. и др. Геологическая карта СССР масштаба 1 : 200 000 листа М-46-VI и объяснительная записка к ней, 1957. Фонды ВАГТ.

### Фондоная

16. Архангельская В. В., Онищенко В. А. Геологическое строение бассейнов рр. Бурен, Бельбей и левобережной части бассейна р. Си-зим (Восточная часть трапеции М-46-XII). 1953. Фонды ВАГТ.

17. Белостокский И. И., Архангельская В. В. Геологическое строение района первых р. Каахем (М. Енисей) Тувинской автономной области. 1948. Фонды ВАГТ.

18. Данилевич А. М. Отчет тематической партии № 11 за 1954 г., 1955. Фонды ВСГЕИ.

19. Игнатьев Г. Г., Кудрявцев Г. А. Отчет о работах Тувинской аэрогеологической экспедиции за 1951 г. Результаты опытно-производственных аэромагнитных работ в центральной и восточной частях Тувинской обл. Рукопись. 1952. Фонды ВАГТ.

20. Ильин А. В., Моралев В. М. Геологическое строение бассейнов рек Шурмак и Соя (западная часть трапеции М-46-XII). 1953. Фонды ВАГТ.

21. Ильин А. В., Моралев В. М. Геологическое строение и полезные ископаемые бассейнов правобережья рр. Эрзин, Шурмак, Бурен (части трапеции М-46-XVIII). 1954. Фонды ВАГТ.

22. Ильин А. В. Стратиграфия докембрийских отложений нагорья Сагилен и некоторые закономерности распространения железистых кварцитов. Диссерт. на соиск. уч. ст. канд. геол.-минер. наук. 1958. Фонды МГРИ.

23. Ильин А. В., Ильина Т. А. Отчет по редакционно-увязочным работам 1957—1958 гг., проведенным при подготовке к изданию листа М-46-XII геологической карты масштаба 1:200 000. 1959. Фонды ВАГТ.

24. Потапов С. В., Онищенко В. А. Государственная геологическая карта СССР масштаба 1:200 000 листа М-47-УП и общая карта залива Канчы. 1958. Фонды ВАГТ.

25. Серпухов В. И., Коростин П. В. Геология и полезные ископаемые южного склона хр. Восточного Таннуолы и западной части нагорья Сагилены (Отчет поисково-съемочной партии № 38, 39 за 1950 г.), 1950. ГУГФ.

26. Шенкман Я. Д.; Вайнер Н. Л. и др. Отчет тематической партии № 9 (по изучению некоторых гранитоидных комплексов Восточной Тувы) за 1955 г. 1957. Фонды ВАГТ.

Приложение 1  
Список материалов, использованных для составления карты полезных ископаемых

№ п/п	Фамилия и инициалы автора	Название работы	Год составления или издания	Местонахождение материала, его фондовый номер или место издания
1	Архангельская В. В., Онищенко В. А.	Геологическое строение бассейнов рр. Бурен, Бельбей и левобережной части бассейна р. Сизим (восточная часть трапеции М-46-XII)	1953	Москва, фонды ВАГТ
2	Ильин А. В., Моралев В. М.	Геологическое строение бассейнов рек Шурмак и Соя (западная часть трапеции М-46-XII)	1953	Москва, фонды ВАГТ
3	Ильин А. В., Ильина Т. А.	Отчет по редакционно-уязочным работам 1957—1958 гг., проведенным при подготовке к изданию листа М-46-XII геологической карты масштаба 1:200 000	1959	Москва, фонды ВАГТ

Список промышленных месторождений полезных ископаемых, показанных на листе М-46-XII карты полезных ископаемых масштаба 1:200 000

№ по карте	Индекс клетки по карте	Наименование месторождения и вид полезного ископаемого	Состояние эксплуатации	Тип месторождения (К—коренное, Р—россыпное)	№ использованного материала по списку	Примечание
17	II—3	Руч. Баян-Коль у с. Ильинка. Известняки	Эксплуатируется	К	1; 3	
20	II—3	р. Бурен, у села Ильинка. Известняки	То же	К	1; 3	
11	II—2	р. Соя у с. Ильинка. Глины кирпичные	" "		2	
13	II—2	р. Соя у пос. Маймазын. Глины кирпичные	" "		2	
15	II—2	р. Соя ниже с. Владимировка. Песок строительный	Не эксплуатируется		2	
16	II—2	р. Соя, выше с. Владимировка. Песок строительный	То же		2	

Список непромышленных или неразведанных месторождений полезных ископаемых, показанных на листе М-46-XII карты полезных ископаемых масштаба 1:200 000

№ по карте	Индекс клетки по карте	Наименование месторождения и вид полезного ископаемого	Состояние эксплуатации	Тип месторождения (К—коренное, Р—россыпное)	№ использованного материала по списку	Примечание
2	I—1	Шамбалыгское месторождение. Магнетитовые руды	Не эксплуатируется	К	2	
34	IV—3	Правобережье реки Хадын. Магнетитовые руды	То же	К	3	
7	I—3	р. Бурен, у устья р. Биче-Ажика. Глины кирпичные	" "		1	
12	II—2	Левобережье р. Сои к северо-западу от пос. Маймазын. Глины кирпичные	" "		2	
9	I—4	р. Бельбей в нижнем течении. Суглинки	" "		3	
25	III—2	р. Ишкендер, в среднем течении. Суглинки	" "		2	
29	IV—1	Левобережье р. Шурмак в среднем течении. Суглинки	" "		2	
5*	19	Левобережье р. Бельбей в среднем течении. Кварцит	" "	К	3	
21	II—3	р. Бельбей, водораздел руч. Ильнящ и Арканатыр. Кварцит	" "	К	1; 3	
4	I—1	Горы Саргалыг-тайга. Абразивное сырье (гранатовые скарны)	" "	К	2	

Список проявлений полезных ископаемых, показанных на листе М-46-XII карты полезных ископаемых масштаба 1:200 000

№ по карте	Индекс клетки на карте	Наименование (место-нахождение) проявления и вид полезного ископаемого	Характеристика проявления	№ использованного материала по списку	Примечание
1	I—1	2,5 км к юго-востоку от г. Соя-Нур. Магнетитовые руды	Гранатовые и гранато-эпидотовые скарны с магнетитом в виде просечек и тонких прожилков ( мощность 2—3 см). Ширина скарновой полосы 15—20 м. Наблюдаются примазки азурита и малахит в виде настенных форм и инкрустаций.	2	
5	I—2	Среднее течение р. Алуг-Ажик. Магнетитовые руды	Гранатовые, эпидот-гранат-пиroxеновые и кварцево-гранат-эпидотовые скарны с магнетитом, а также с малахитом, выделяющимся в виде натеков и инкрустаций и мелких кристаллов халькопирита.	2	
6	I—2	Северо-восточнее г. Тавалген. Магнетитовые руды	Магнетит в гранатовых скарнах. Зона прослежена на несколько десятков метров, при мощности не менее 5 м	Устное сообщение геолога Горной экспедиции А. Г. Кузнецова	
10	II—2	Руч. Шевелиг. Магнетитовые руды	Полоса сильно выветрелых, пористых эпидот-магнетитовых скарнов	2	
30	IV—1	Хребет Восточный Танну-Ола, в истоках р. Ужарлыг-хем. Магнетитовые руды.	Линза мелкозернистого, массивного плотного магнетита мощностью около 30 см, прослеженная на расстояние около 20 м	2	
3	I—1	Северный склон г. Сыргалык-тайга. Медь	Жильный кварц с мельчайшими выделениями халькопирита и налетами малахита	2	
8	I—3	Водораздел руч. Баян-Коля и Кара-Суг. Медь	Скарнированная порода с обильными примазками малахита и азурита.	3	
14	II—2	р. Соя, у села Майамын. Медь	Скарны гранатовые и гранато-эпидотовые с халькопиритом, магнетитом и азуритом	3	
28	IV—1	Среднее течение р. Шурмак, левый берег. Медь	Зона катаклизированных и минерализованных гранитов мощностью около 7 м с примазками малахита и азурита	2	
32	IV—1	Хребет Восточный Танну-Ола, в истоках р. Ужарлыг-хем. Медь	Измененная эфузивная порода кислого состава с обильной вкрапленностью сульфидов (пирит, реже халькопирит)	3	
33	IV—1	Истоки р. Ужарлыг-хем. Медь	Измененная эфузивная порода кислого состава с обильной вкрапленностью сульфидов (пирит, реже пирротин)	2; 3	
31	IV—1	Хребет Восточный Танну-Ола. Никель-cobальтовые	Вкрапленность пирита, халькопирита, пирротина в гнейсогнейсовых габбро и габбро-диоритах. Площадь распространения пород с вкрапленными сульфидами до 6—7 км <sup>2</sup>	2	
23	II—3	Среднее течение р. Бурен, у заимки Шагларик. Редкие земли	Редкие знаки монацита, ортита в биотитовых гранитах (по данным шлихов из протолочек)	3	
24	II—3	Среднее течение р. Бурен, у заимки Шагларик. Редкие земли	Биотитовые граниты с монацитом и флюоритом (по данным шлихов из протолочек). Содержание монацита около 5% электромагнитной фракции	3	

№ по карте	Индекс клетки на карте	Наименование (место-нахождение) проявления и вид полезного ископаемого	Характеристика проявления	№ использованного материала по списку	Примечание
26	III—2	К югу от пос. Владимиировка. Редкие земли	Редкие знаки монацита в биотитовых гранитах (по данным шлихов из протолочек)	3	
27	III—4	Среднее течение р. Бурен, устье р. Бобуш-Ой. Редкие земли	Редкие знаки оранжита, монацита, радиоактивного циркона и галенита в сером биотитовом граните (по данным шлихов из протолочек)	3	
35	IV—4	Верховье р. Сербика. Тантал—ниобий	Щелочные граниты с флюоритом и мелкой равномерной вкрапленностью колумбита, содержание которого в среднем по данным минералогического анализа, колеблется в пределах 10—12 г/т	1	
18	II—3	Истоки руч. Баян-Колья. Хризотиловый асбест	Тонкие прожилки хризотилового асбеста в серпентините	3	
22	II—3	Руч. Аршан. Источники минеральных вод	Трещинный источник слабо углекислых вод. Дебит непостоянный от 0,3 до 2 л/мин	1	

## СОДЕРЖАНИЕ

Введение	3
Стратиграфия	6
Протерозой	6
Палеозой	
Кембрийская система	9
Девонская система	14
Четвертичная система	18
Интузивные породы	
Тектоника	22
Геоморфология	33
Полезные ископаемые	42
Подземные вскры	47
Литература	60
Приложения	63
	65

Стр.